



TUGAS AKHIR - TE 141599

**PERANCANGAN KONTROLER MPC UNTUK TRAJECTORY
TRACKING PADA GERAK *CRUISE QUADCOPTER***

Astrid Rachma Pratiwi
NRP 2212 100 103

Dosen Pembimbing
Ir. Rusdhianto Effendie A.K., MT.
Eka Iskandar, ST., MT.

JURUSAN TEKNIK ELEKTRO
Fakultas Teknologi Industri
Institut Teknologi Sepuluh Nopember
Surabaya 2016



FINAL PROJECT - TE 141599

***MPC CONTROLLER DESIGN FOR TRAJECTORY
TRACKING OF CRUISE MOVEMENT QUADCOPTER***

Astrid Rachma Pratiwi
NRP 2212 100 103

Supervisors

Ir. Rusdhianto Effendie A.K., MT.
Eka Iskandar, ST., MT.

DEPARTMENT OF ELECTRICAL ENGINEERING
Faculty of Industrial Technology
Sepuluh Nopember Institute of Technology
Surabaya 2016

**PERANCANGAN KONTROLER MPC UNTUK TRAJECTORY
TRACKING PADA GERAK CRUISE QUADCOPTER**

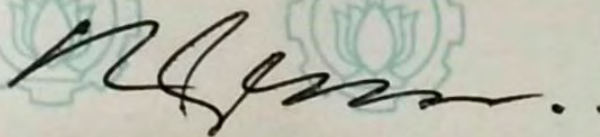
TUGAS AKHIR

**Diajukan Guna Memenuhi Sebagian Persyaratan Untuk
Memperoleh Gelar Sarjana Teknik Elektro
Pada
Bidang Studi Sistem Pengaturan
Jurusan Teknik Elektro
Institut Teknologi Sepuluh Nopember**

Menyetujui

Dosen Pembimbing I,

Dosen Pembimbing II,



Ir. Rusdhianto Effendie A.K., MT.
NIP. 195704241985021001



Eka Iskandar, ST., MT.
NIP. 198005282008121001



PERANCANGAN KONTROLER MPC UNTUK TRAJECTORY TRACKING PADA GERAK CRUISE QUADCOPTER

Astrid Rachma Pratiwi
2212 100 103

Dosen Pembimbing I : Ir. Rusdhianto Effendie A.K., M.T
Dosen Pembimbing II : Eka Iskandar, ST, MT

ABSTRAK

Salah satu permasalahan kendali pada *quadcopter* adalah *trajectory tracking* dimana *quadcopter* dapat mejejak jalur yang sudah ditetapkan. Pada penelitian Tugas Akhir ini dirancang pengendalian gerak *cruise quadcopter* saat *trajectory tracking* menggunakan Kontroler PID untuk gerak rotasi dan *Model Predictive Control* (MPC) untuk gerak translasi. Gerakan *Cruse quadcopter* saat *trajectory tracking* merupakan gerakan manuver yang mencakup perubahan sumbu X, Y dan Z. Referensi jalur yang akan disimulasikan untuk *trajectory tracking* gerak *cruise quadcopter* berbentuk lingkaran. Penentuan parameter MPC dengan memvariasikan salah satu nilai parameter MPC yaitu *pediction horizon* (N_p). Didapatkan nilai parameter MPC N_{p_x} sebesar 20, N_{p_y} sebesar 14, dan N_{p_z} sebesar 10 dengan nilai *control horizon* sebesar N_{c_x} sebesar 2, N_{c_y} sebesar 2, dan N_{c_z} sebesar 3. Respon tersebut memiliki RMSE pada sumbu X sebesar 3,3%, RMSE pada sumbu Y sebesar 2,3% dan RMSE pada sumbu Z sebesar 1,5% dengan lagging pada sumbu X sebesar 0,48 detik, sumbu Y sebesar 0,3 detik dan pada sumbu Z sebesar 0,32 detik.

Kata Kunci : *Quadcopter*, *Trajectory Tracking*, *Gerak Cruise*, Kontroler *PID*, *Model Predictive Control*

[Halaman ini sengaja dikosongkan]

MPC CONTROLLER DESIGN FOR TRAJECTORY TRACKING OF CRUISE MOVEMENT QUADCOPTER

Astrid Rachma Pratiwi
2212 100 103

Supervisor I : Ir. Rusdhianto Effendie A.K., M.T
Supervisor II : Eka Iskandar, ST, MT

ABSTRACT

One of quadcopter control problem issue is the control of the trajectory tracking quadcopter which can track the path that has been set. In this final assignment research trajectory tracking on cruise movement quadcopter using PID controller for rotational motion and Model Predictive Control (MPC) for the translational motion. Cruise movement quadcopter current trajectory tracking is a maneuver which includes a change axes X, Y and Z. Reference track to be simulated for trajectory tracking quadcopter circle. Determining parameters of MPC WITH varying parameter value MPC prayer One That pediction horizon (N_p). MPC N_p x obtained parameter value by 20, N_p y at 14, and by 10 WITH N_p z horizon control value of N_c x is 2, N_c y by 2, and N_c z of 3. The response has RMSE on X-axis by 3,3%, RMSE on Y-axis by 2,3% and on Z-axis at 1,5%. with lagging on X-axis of 0,48 and Y of 0.3 seconds and on-axis Z of 0.32 seconds.

Keyword : Quadcopter, Trajectory Tracking, Cruise Movement, PID Controller, Model Predictive Control

[Halaman ini sengaja dikosongkan]

DAFTAR ISI

HALAMAN JUDUL	i
PERNYATAAN KEASLIAN	v
LEMBAR PENGESAHAN	vii
ABSTRAK	ix
ABSTRACT	xi
KATA PENGANTAR.....	xiii
DAFTAR ISI.....	xv
DAFTAR GAMBAR.....	xvii
DAFTAR TABEL	xix
BAB I PENDAHULUAN.....	1
1.1 Latar Belakang.....	1
1.2 Perumusan Masalah	2
1.3 Batasan Masalah	2
1.4 Tujuan.....	3
1.5 Metodologi.....	3
1.6 Sistematika Pembahasan.....	4
1.7 Relevansi	5
BAB II TEORI PENUNJANG.....	7
2.1 <i>Quadcopter</i> [5][6]	7
2.1.1 Konsep Dasar <i>Quadcopter</i>	8
2.1.2 Pemodelan Kinematik <i>Quadcopter</i>	10
2.1.3 Pemodelan Dinamik <i>Quadcopter</i>	16
2.1.4 Model Matematika <i>Quadcopter</i>	24
2.2 <i>Feedback Linearization</i> [7].....	25
2.3 Kontroler.....	26
2.3.1 Kontroler Proporsional, Integral, dan <i>Derivative</i> [9][10]	26
2.3.1.1 Kontroler Proporsional	27
2.3.1.2 Kontroler Integral	27
2.3.1.3 Kontroler <i>Derivative</i>	28
2.3.2 <i>Model Predictive Control</i> (MPC) [11]	29
2.3.2.1 Model <i>State-Space</i> dengan <i>Embedded Integrator</i> ..	30
2.3.2.2 <i>Prediction of State and Output Variables</i>	32
2.3.2.3 Indeks performansi kontroler MPC	33
2.3.2.4 <i>Closed loop Control System</i>	34
BAB III PERANCANGAN SISTEM.....	37
3.1 Desain <i>Quadcopter</i>	37

3.2	Identifikasi Sistem	38
3.3	Perancangan Kontroler PID.....	39
3.3.1	PID <i>Roll</i>	40
3.3.2	PID <i>Pitch</i>	42
3.3.3	PID <i>Yaw</i>	43
3.4	Perancangan Kontroler MPC.....	44
3.4.1	Kontroler MPC pada Sumbu Z	45
3.4.2	Kontroler MPC pada Sumbu X.....	47
3.4.3	Kontroler MPC pada Sumbu Y	50
3.5	Perancangan <i>Trajectory Tracking</i>	52
BAB IV	ANALISIS DATA DAN PEMBAHASAN.....	57
4.1	Simulasi Open Loop Sistem	57
4.2	Simulasi Pengujian dengan Kontroler PID.....	58
4.2.1	Simulasi Pengujian dengan Kontroler PID Sudut <i>Roll</i>	58
4.2.2	Simulasi Pengujian dengan Kontroler PID Sudut <i>Pitch</i> ...	60
4.3	Simulasi Pengujian Kontroler MPC	61
4.3.1	Simulasi Pengujian Kontroler MPC pada Sumbu X	61
4.3.2	Simulasi Pengujian Kontroler MPC pada Sumbu Y	62
4.3.3	Simulasi Pengujian Kontroler MPC pada Sumbu Z.....	64
4.4	Simulasi Pengujian <i>Trajectory Tracking Quadcopter</i> pada Lintasan Lingkaran dan Segiempat.	65
4.5	Simulasi Pengujian <i>Trajectory tracking Quadcopter</i> pada Lintasan Lingkaran dan Segiempat Dengan <i>Disturbance</i>	68
4.6	Simulasi 3D	72
BAB V	PENUTUP	75
5.1	Kesimpulan.....	75
5.2	Saran.....	75
DAFTAR PUSTAKA.....		77
LAMPIRAN A		79
A1.	Data Pengukuran Kecepatan Motor.....	79
A2	Data Pengukuran Gaya Angkat Motor	80
A3.	Pengukuran Kecepatan Motor	81
A4.	Pengukuran Gaya Angkat Motor	81
A4.	Gaya thrust.....	82
A5.	Identifikasi Fisik <i>Quadcopter</i>	83
LAMPIRAN B.....		86
B1.	Program Plotter <i>Quadcopter</i>	86
B2.	Diagram <i>Simulink</i>	92
BIOGRAFI PENULIS.....		93

DAFTAR GAMBAR

Gambar 2.1 Ilustrasi bidang x,y,dan z pada <i>quadcopter</i>	7
Gambar 2.2 Pergerakan <i>Hovering/Throttle</i> pada <i>Quadcopter</i>	8
Gambar 2.3 Pergerakan <i>Roll</i> pada <i>Quadcopter</i>	9
Gambar 2.4 Pergerakan <i>Pitch</i> pada <i>Quadcopter</i>	9
Gambar 2.5 Pergerakan <i>Yaw</i> pada <i>Quadcopter</i>	10
Gambar 2.6 <i>Earth-frame</i> dan <i>Body-frame</i> yang digunakan dalam permodelan <i>quadcopter</i>	11
Gambar 2.7 Rotasi di Sekitar Sumbu x_2 oleh Sudut ϕ (<i>Roll</i>)	12
Gambar 2.8 Rotasi di Sekitar Sumbu y_1 oleh Sudut θ (<i>Pitch</i>)	13
Gambar 2.9 Rotasi di Sekitar Sumbu z_E oleh Sudut ψ (<i>Yaw</i>)	14
Gambar 2.10 Gambar <i>E-frame</i> dan <i>B-frame Quadcopter</i> beserta empat gaya yang bekerja disetiap propeler	17
Gambar 2.11 Diagram blok kontroler proporsional.....	27
Gambar 2.12 Kurva sinyal kesalahan $e(t)$ terhadap t pada pembangkit kesalahan nol.....	28
Gambar 2.14 Diagram blok kontroler integral.....	28
Gambar 2.15 Diagram blok kontroler derivative.....	29
Gambar 2.16 Konsep dari Kontroler <i>Model Predictive Control</i>	29
Gambar 2.17 Sistem <i>Closed loop</i> Kontroler MPC	36
Gambar 3.1 Desain Mekanik <i>Quadcopter hobby</i> LAB AJ 204	37
Gambar 3.2 Desain sistem elektronika <i>quadcopter hobby</i> AJ 204	38
Gambar 3.3 Diagram Blok Perancangan Kontroler PID Sudut <i>Roll</i>	40
Gambar 3.4 Diagram Blok <i>Feedback</i> Linearization untuk Sudut <i>Roll</i> 41	
Gambar 3.5 Grafik Root Locus Persamaan Sudut <i>Roll</i>	41
Gambar 3.6 Diagram Blok Perancangan Kontroler PID Sudut <i>Pitch</i> ..	42
Gambar 3.7 Diagram blok <i>Feedback</i> Linearization untuk Sudut <i>pitch</i> 43	
Gambar 3.8 Diagram blok Perancangan Kontroler PID Sudut <i>Yaw</i>	43
Gambar 3.9 Diagram blok <i>Feedback</i> Linearization untuk sudut <i>pitch</i> 44	
Gambar 3.10 Diagram Blok Perancangan Kontroler MPC Sumbu Z..	45
Gambar 3.11 Diagram Blok Perancangan Kontroler MPC Sumbu X .	47
Gambar 3.12 Diagram Blok Perancangan Kontroler MPC Sumbu Y .	50
Gambar 3.13 Referensi <i>Trajectory Tracking</i> Lingkaran <i>Quadcopter</i> Sumbu X dan Y	53
Gambar 3.14 Grafik Referensi Sumbu X, Y dan Z Terhadap Waktu ..	54
Gambar 3.15 Referensi <i>Trajectory Tracking</i> Segiempat <i>Quadcopter</i> Sumbu X dan Y	54

Gambar 3.16 Referensi Sumbu X, Y dan Z Lintasan Segiempat	55
Gambar 4.1 Respon Open Loop Posisi Z tanpa Kontroler	57
Gambar 4.2 Respon Open Loop Posisi X tanpa Kontroler.....	57
Gambar 4.3 Respon Open Loop Posisi Y tanpa Kontroler.....	58
Gambar 4.4 Respon simulasi sudut <i>roll</i> dengan variasi nilai referensi	59
Gambar 4.5 Respon Simulasi Sudut <i>Roll</i> dengan Variasi Nilai Awal..	59
Gambar 4.6 Respon Simulasi Sudut <i>Pitch</i> dengan Variasi Nilai Awal	60
Gambar 4.7 Respon Simulasi Sudut <i>Pitch</i> dengan Variasi Nilai Referensi	61
Gambar 4.8 Respon Simulasi Sumbu X dengan Variasi Nilai N_p	62
Gambar 4.9 Respon Simulasi Sumbu Y dengan Variasi Nilai N_p	63
Gambar 4.10 Respon Simulasi Sumbu Z dengan Variasi Nilai N_p	64
Gambar 4.11 Respon Simulasi <i>Quadcopter Trajectory tracking</i> dengan Lintasan Lingkaran	65
Gambar 4.12 Respon Pengujian <i>Trajectory tracking Quadcopter</i> pada Lintasan Lingkaran pada Posisi Sumbu X, Y dan Z.....	66
Gambar 4.13 Respon Sudut Pengujian <i>Trajectory tracking Quadcopter</i> pada Lintasan Lingkaran.....	67
Gambar 4.14 Respon Simulasi <i>Quadcopter Trajectory tracking</i> dengan Lintasan Segiempat.....	67
Gambar 4.15 Respon Pengujian <i>Trajectory tracking Quadcopter</i> pada Lintasan Segiempat pada Posisi Sumbu X, Y dan Z.....	68
Gambar 4.16 Respon Simulasi <i>Quadcopter Trajectory tracking</i> pada Lintasan Lingkaran dengan <i>disturbance</i>	69
Gambar 4.17 Respon Posisi Sumbu X dan Y <i>Quadcopter</i> pada Lintasan Lingkaran dengan <i>disturbance</i>	69
Gambar 4.18 Respon Sudut <i>Quadcopter</i> pada Lintasan Lingkaran dengan <i>disturbance</i>	70
Gambar 4.19 Respon Simulasi <i>Quadcopter Trajectory tracking</i> pada Lintasan Lingkaran dengan <i>disturbance</i>	71
Gambar 4.20 Respon Posisi Sumbu X dan Y <i>Quadcopter</i> pada Lintasan Lingkaran dengan <i>disturbance</i>	71
Gambar 4.21 Respon Sudut <i>Quadcopter</i> pada Lintasan Segiempat dengan <i>disturbance</i>	72
Gambar 4.22 Simulasi 3D <i>Trajectory tracking</i> Lintasan Lingkaran pada <i>Quadcopter</i>	72
Gambar 4.23 Simulasi 3D <i>Trajectory tracking</i> Lintasan Segiempat pada <i>Quadcopter</i>	73

DAFTAR TABEL

Tabel 3.1 Parameter <i>Quadcopter</i>	38
Tabel 4.1 Variasi Nilai Np pada Kontroler MPC sumbu X	61
Tabel 4.2 Parameter Hasil Tuning Variasi Nilai Np Kontroler MPC sumbu X	62
Tabel 4.3 Variasi Nilai Np pada Kontroler MPC sumbu Y	63
Tabel 4.4 Parameter Hasil Tuning Variasi Nilai Np Kontroler MPC sumbu Y	63
Tabel 4.5 Variasi Nilai Np pada Kontroler MPC sumbu Z	64
Tabel 4.6 Parameter Hasil Tuning Variasi Nilai Np Kontroler MPC sumbu Z	66

[Halaman ini sengaja dikosongkan]

BAB I

PENDAHULUAN

1.1 Latar Belakang

Saat ini, UAV (*Unmanned Aerial Vehicle*) yang sedang mengalami perkembangan yang pesat dan memiliki potensi yang sangat besar, baik untuk keperluan militer maupun sipil. Banyak sekali jenis UAV, salah satunya adalah *quadcopter*, pesawat yang memiliki empat rotor atau empat baling-baling, jenis pesawat ini memiliki keunggulan lebih dibanding helicopter biasa [1]. Helicopter biasa menggunakan 1 rotor penggerak untuk menggerakkan 2 baling-baling sedangkan *quadcopter* mempunyai 4 rotor yang fokus untuk menggerakkan masing-masing propeller, sehingga kinerja rotor *quadcopter* lebih efektif.

Quadcopter saat ini menjadi bahan perbincangan dan penelitian bagi para peneliti dikarenakan memiliki manuverabilitas yang tinggi, rancangan yang sederhana dan kelengkapan sensor yang digunakan. *Quadcopter* juga sangat efektif dalam melakukan pengawasan, pemeriksaan area, dan pemetaan pada daerah yang tidak bisa terjangkau oleh manusia. Contohnya, pada bidang pertanian, *quadcopter* dapat digunakan untuk meningkatkan manajemen penanaman pada lahan pertanian seperti mengamati dan memantau lahan yang akan di tanam.

Quadcopter mempunyai dua macam gerakan, yaitu gerakan rotasi dan translasi. Gerak rotasi merupakan gerakan yang terjadi pada poros *quadcopter* dimana terdiri dari gerak *roll*, *pitch* dan *yaw*. Sedangkan gerak translasi *quadcopter* mempunyai dua gerakan, yaitu gerakan lateral dan gerakan longitudinal. Gerakan lateral merupakan gerakan *quadcopter* saat berbelok ke kanan maupun ke kiri menuju arah sumbu x dan y. Sedangkan gerakan longitudinal merupakan gerakan *quadcopter* pada sumbu z, pada saat *quadcopter* akan menuju ke atas atau ke bawah.

Permasalahan kendali pada *quadcopter* salah satunya adalah trajectory tracking dimana *quadcopter* dapat menjejak jalur referensinya. Dimana *quadcopter* melakukan gerak translasi maju maupun menyamping untuk menjejak jalur referensi. Gerak translasi pada *quadcopter* ditentukan oleh resultan gaya dan sudut-sudut pada *quadcopter*. Jika dilakukan pengendalian gerak translasi, maka sinyal kontrol bergantung pada evaluasi gerak translasinya dan besar sudut-sudut quadrotor [2].

Untuk pengendalian trajectory tracking *quadcopter*, sudah banyak teknik kontrol yang digunakan. Kontrol PID, LQR dan *Model Predictive Control* (MPC) baru-baru ini telah banyak digunakan. Kontroler PID

adalah pilihan yang paling populer untuk mengendalikan semacam proses, tetapi untuk sistem MIMO seperti *quadcopter* sulit untuk menggunakan kontroler ini sedangkan kontroler LQR adalah metode pengendalian yang relatif modern tetapi terbatas pada aplikasi dimana sistem adalah model yang linier. Apabila menggunakan metode ini untuk mengontrol sistem nonlinier maka sistem harus di diubah menjadi bentuk linier terlebih dahulu. Untuk mengevaluasi kinerja kontroler LQR, kita perlu membandingkannya dengan hasil kontroler yang lain yang membutuhkan kerumitan yang lain pula [3]. Di sisi lain , MPC dapat menangani sistem linear dan sistem nonlinier [4]. Dibandingkan dengan PID , Tuning MPC lebih mudah bahkan untuk sistem MIMO yang kompleks. Sehingga pada penelitian ini diharapkan kontroler MPC dapat mengoptimal gerak *cruise quadcopter*.

1.2 Perumusan Masalah

Pada tugas akhir ini dimaksudkan untuk menyelesaikan permasalahan trajectory tracking atau bisa disebut permasalahan suatu kemampuan *quadcopter* untuk mengikuti lintasan umum yang sudah ada, pada gerak *cruise quadcopter*. Dimana *quadcopter* bergerak maneuver yang dapat menyebabkan posisi sumbu X,Y dan Z berubah, pergerakan tersebut juga merubah posisi sudut *quadcopter*. Sehingga sudut dari *quadcopter* akan dijadikan parameter untuk pergerakan tersebut. Maka untuk pengendalian tracking *quadcopter* dibutuhkan kontroler yang mampu beradaptasi dengan perubahan parameter.

1.3 Batasan Masalah

Pada Tugas Akhir ini, parameter dari *quadcopter* yang digunakan adalah *quadcopter* rakitan, yang berada pada Laboratorium Teknik Pengaturan B-105, Jurusan Teknik Elektro ITS. Pada penelitian ini, dilakukan pengendalian gerakan *cruise trajectory tracking* pada *quadcopter*. Akan ada 6 variabel yang akan dikontrol, yaitu posisi *quadcopter* pada sumbu X, posisi *quadcopter* pada sumbu Y, posisi *quadcopter* pada sumbu Z, serta sudut *roll*, *pitch*, dan *yaw* dari *quadcopter*.

Pada pengaturan posisi sudut *quadcopter roll*, *pitch*, dan *yaw* digunakan kontroler *PID* . Sedangkan, untuk pengaturan sudut posisi *quadcopter* pada sumbu X,Y,dan Z digunakan kontroler MPC. Kedua kontroler ini disambungkan secara *cascade*, dengan *outer loop* adalah kontroler posisi, dan *inner loop* adalah kontroler kecepatan.

1.4 Tujuan

Tujuan dari pelaksanaan tugas akhir, antara lain :

1. Mengidentifikasi kinematika dan dinamika *quadcopter* sehingga didapatkan model matematika sistem
2. Merancang kontroler *Model Predictive Control* untuk pengendalian posisi dari *quadcopter* dan kontroler PID untuk stabilitas *quadcopter*.
3. Menganalisa respon simulasi *quadcopter* dengan mensimulasikannya sehingga diketahui tingkat keakuratan dari kontroler.

Hasil yang diperoleh dari pelaksanaan tugas akhir diharapkan dapat dijadikan acuan dalam pembuatan sistem kontrol untuk gerak *cruise quadcopter*.

1.5 Metodologi

Metodologi yang digunakan dalam tugas akhir ini terdiri dari beberapa tahap sebagai berikut:

- a. Studi literatur
Tahap pertama adalah mencari informasi atau data mengenai *plant*, kontroler, atau sistem secara keseluruhan. Studi literatur diperlukan sebagai landasan dalam mengerjakan Tugas Akhir agar diperoleh teori penunjang yang memadai, baik ilmu dasar, analisis, maupun metode penelitian.
- b. Identifikasi *plant*
Pada tahap kedua, Identifikasi *plant quadcopter* dilakukan dengan pengukuran *input - output*, sehingga diperoleh parameter-parameter yang ada pada *quadcopter* untuk memperoleh model matematikanya. Dengan didapatkannya model matematika dari *quadcopter*, perancangan kontroler dapat dilakukan.
- c. Perancangan Kontroler
Tahap ketiga adalah perancangan kontroler untuk pengendalian gerak *quadcopter*. Perancangan kontroler PID untuk pengendalian gerak rotasi sedangkan perancangan kontroler MPC untuk pengendalian gerak translasi.
- d. Simulasi dan Analisis Data
Tahap keempat adalah mensimulasikan kontroler yang telah dirancang menggunakan *software* MATLAB 2015a agar mengetahui performansi dari sistem yang telah diberi kontroler. Setelah data diperoleh maka dilakukan analisa data.

- e. Penarikan Kesimpulan
Analisis data yang telah didapatkan akan digunakan untuk penarikan kesimpulan.
- f. Pembuatan Laporan
Tahap ini merupakan tahap akhir dari serangkaian pelaksanaan tugas akhir. Penyusunan buku tugas akhir dilakukan sebagai bentuk laporan tertulis dari proses dan hasil kerja terkait topik yang diusulkan

1.6 Sistematika Pembahasan

Pembahasan dalam tugas akhir ini akan dibagi dalam lima bab dengan sistematika sebagai berikut:

BAB I PENDAHULUAN

Pada bab ini, dibahas mengenai latar belakang, perumusan permasalahan, tujuan, metodologi, sistematika penulisan, dan relevansi dari Tugas Akhir.

BAB II TEORI PENUNJANG

Bab ini berisi tentang teori-teori yang berkaitan dengan topik yang diangkat dalam Tugas Akhir ini. Teori yang dibahas pada bab ini adalah mengenai dinamika dan kinematika *quadcopter*, Linearisasi, Kontroler PID dan *Model Predictive Control*.

BAB III PERANCANGAN SISTEM

Pada bab ini akan dijelaskan mengenai perancangan algoritma kontrol *Trajectory Tracking* dengan *Model Predictive Control* berdasarkan teori pada Bab II.

BAB IV HASIL DAN PEMBAHASAN

Bab ini berisi tentang hasil pengujian simulasi kontrol *Trajectory Tracking* dengan *Model Predictive Control* pada sistem, pada berbagai kondisi yang mendekati kondisi aktual.

BAB V PENUTUP

Setelah proses pengujian dilakukan, disajikan beberapa kesimpulan yang disertai dengan saran terhadap kelanjutan Tugas Akhir ini.

1.7 Relevansi

Hasil dari yang didapat pada tugas akhir ini diharapkan dapat menjadi referensi desain kontroler pada *quadcopter*, pengembangan dan perbandingan metode kontrol yang tepat untuk pengaturan gerak pada *quadcopter*.

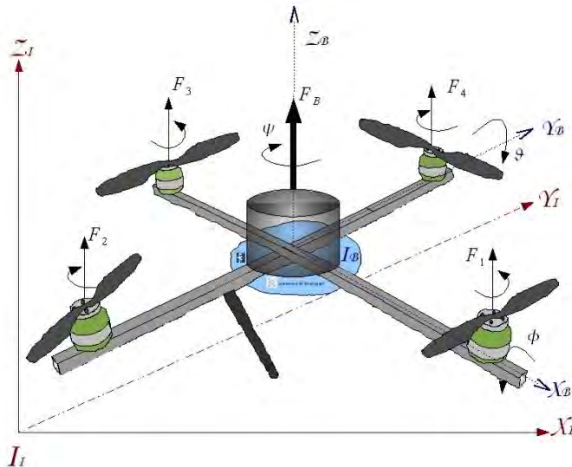
[Halaman ini sengaja dikosongkan]

BAB II

TEORI PENUNJANG

2.1 *Quadcopter* [5][6]

Quadcopter yang juga dikenal sebagai quadrotor adalah helikopter dengan tersusun dari empat buah rotor yang ditempatkan dalam formasi persegi dengan jarak yang sama dari pusat massa *quadcopter* tersebut. *Quadcopter* dikendalikan dengan menyesuaikan kecepatan sudut dari rotor yang diputar putar oleh motor listrik. *Quadcopter* memiliki kemampuan untuk melakukan beberapa gerakan seperti manuver bergerak maju atau mundur, tracking point (bergerak mengikuti suatu jalur), pendaratan (Landing), dan lepas landas secara vertikal (Vertical Take-Off). Dalam implementasinya, *quadcopter* difungsikan dalam suatu bidang x,y,z dengan titik pusat berada pada bagian tengah *quadcopter*. Ilustrasi sederhana bidang x,y , dan z pada *quadcopter* dapat dilihat pada Gambar 2.1.



Gambar 2.1 Ilustrasi bidang x,y , dan z pada *quadcopter*

Sumbu x merupakan garis sejajar dengan bidang lengan depan *quadcopter*, sumbu y merupakan garis bidang sejajar dengan lengan

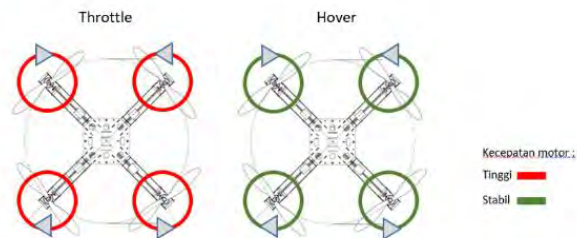
samping kanan *quadcopter*, dan sumbu z merupakan garis tegak lurus 90 derajat ke arah bawah *quadcopter*. Ketiga sumbu tersebut digunakan sebagai acuan gerak *quadcopter*.

2.1.1 Konsep Dasar *Quadcopter*

Dengan mengubah besaran kecepatan putaran keempat buah motor maka *quadcopter* dapat bergerak atas, bawah, maju, mundur, kiri, kanan, dan rotasi. Pergerakan tersebut lebih dikenal dengan istilah *pitch* (bergerak maju atau mundur), *roll* (bergerak kiri atau kanan), *yaw* (rotasi kiri atau rotasi kanan), *Hovering/Throttle* (bergerak keatas). Penjelasan keempat gerakan dasar tersebut sebagai berikut :

a. *Hovering/Throttle*

Pada *hovering*, baling-baling depan dan belakang berputar searah jarum jam sedangkan baling-baling kiri dan kanan berputar berlawanan arah jarum jam dengan kecepatan putar yang sama, seperti pada Gambar 2.2. Perbedaan antara *hovering* dengan *throttle* adalah kecepatan motor pada saat *throttle* lebih besar daripada saat *hovering*. Karena *throttle* digunakan untuk melakukan lepas landas.

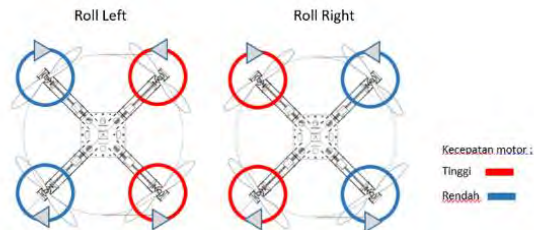


Gambar 2.2 Pergerakan *Hovering/Throttle* pada *Quadcopter*

b. *Roll*

Pergerakan Sudut *Roll* dapat dilihat pada Gambar 2.3. Pergerakan *Roll* dicapai dengan mengurangi atau meningkatkan kecepatan putar dari salah satu baling-baling kiri atau kanan dan melakukan perintah sebaliknya pada baling-baling yang berlawanan. Pergerakan ini akan menghasilkan manuver ke

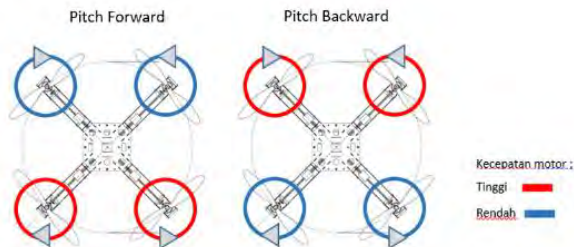
kanan dan kiri tergantung dari baling-baling mana yang diturunkan dan ditingkatkan kecepatannya.



Gambar 2.3 Pergerakan *Roll* pada *Quadcopter*

c. Pitch

Pola dari pergerakan ini memiliki prinsip yang sama dengan *roll* dan juga dilakukan untuk menghasilkan manuver seperti pada Gambar 2.4. Pada pergerakan *roll*, baling-baling yang diatur adalah kanan dan kiri untuk menghasilkan manuver ke kanan dan ke kiri. Sedangkan pada *Pitch*, pengaturan kecepatan baling-baling dilakukan pada baling-baling depan dan belakang untuk menghasilkan manuver ke depan dan ke belakang. Bila kecepatan baling-baling depan ditingkatkan/ diturunkan dan kecepatan baling-baling belakang diturunkan/ ditingkatkan, maka akan terjadi manuver ke belakang/ ke depan.

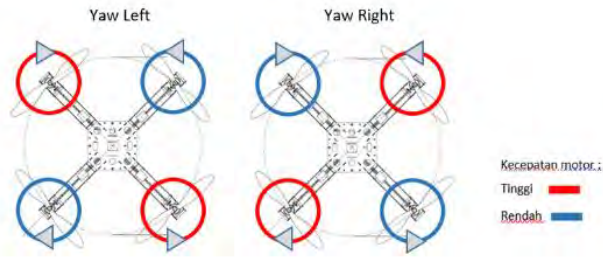


Gambar 2.4 Pergerakan *Pitch* pada *Quadcopter*

d. Yaw

Yaw adalah pergerakan yang dilakukan untuk memutar posisi quadrotor dengan inti tetap berada pada posisi yang sama. Pergerakan ini dicapai dengan mengurangi kecepatan 2 baling-

baling yang memiliki arah putar yang sama dan meningkatkan perputaran 2 baling-baling yang memiliki arah putar yang berlawanan dengan kedua baling-baling sebelumnya. Bila baling-baling kiri dan kanan kecepatannya diturunkan bersamaan dengan dinaikannya kecepatan baling-baling depan dan belakang, maka quadrotor berputar berlawanan arah jarum jam dengan inti sebagai poros. Begitu pula sebaliknya. Pola pergerakan dapat dilihat pada Gambar 2.5.



Gambar 2.5 Pergerakan *Yaw* pada *Quadcopter*

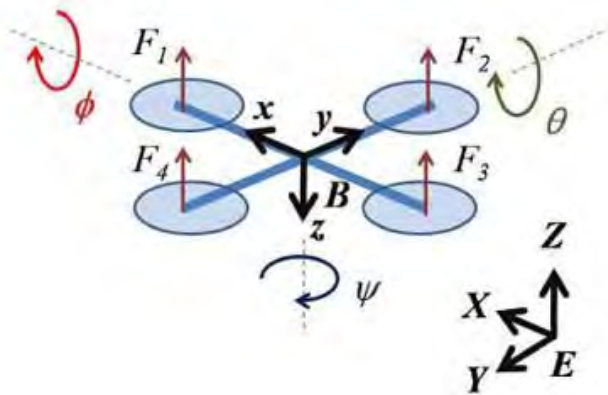
2.1.2 Pemodelan Kinematik *Quadcopter*

Quadcopter memiliki 6 *degree of freedom (DOF)*. Untuk mendeskripsikan gerakan dari 6 *DOF rigid-body* digunakan dua buah frame referensi yaitu *earth inertial reference (E-frame)* dan *body fixed reference (B-frame)*. *B-frame* dan *E-frame* diasumsikan berada pada pusat gravitasi dari *Quadcopter UAV*, di mana sumbu *z* mengarah ke atas, seperti terlihat pada Gambar 2.6.

Persamaan gerak lebih mudah diformulasikan dalam *B-frame* karena matriks inersianya bersifat tidak berubah terhadap waktu, persamaan bisa disederhanakan dengan memanfaatkan keuntungan dari badan *Quadcopter* yang simetris, pengukuran lebih mudah dikonversikan kedalam *B-frame*, dan pengaturan gaya selalu diberikan pada *Body fixed frame*.

E-frame (O_E, X_E, Y_E, Z_E) dipilih sebagai acuan inersia benda. Y_E menunjuk ke utara, X_E menunjuk ke timur, Z_E menunjuk ke atas (menjauhi bumi) dan O_E menunjuk ke titik asal. *Frame* ini digunakan untuk menentukan posisi linier \mathbf{r}_E (dalam meter) dan posisi angular Θ_E (dalam radian) dari *quadcopter*.

B-frame menempel pada tubuh *quadcopter*. *X* menunjuk pada bagian depan *Quadcopter*, *y* menunjuk pada bagian kiri *quadcopter*, *z* menunjuk pada bagian atas, *o* menunjuk pada titik asal atau *origin*. Titik asal *o* digunakan untuk menunjukkan pusat dari *quadcopter*. Didalam *frame* ini ada kecepatan linier V_B (m/s), kecepatan angular Ω_B (rad/s), gaya F_B (N) dan torsi τ_B (Nm). *E-frame* dan *B-frame* dapat dilihat pada Gambar 2.6.



Gambar 2.6 *Earth-frame* dan *Body-frame* yang digunakan dalam permodelan *quadcopter*

Posisi linier *quadcopter* (ΓE) ditentukan dari koordinat vektor antara origin dan B-frame serta origin dari E-frame dengan memperhatikan E-frame dapat dilihat pada Persamaan (2.1).

$$\Gamma E = [X \ Y \ Z]^T \quad (2.1)$$

Posisi angular *quadcopter* (ΘE) ditentukan dari orientasi B-frame terhadap E-frame. Hal ini diperoleh dari tiga bentuk rotasi yang berurutan pada sumbu utama yang mengambil E-frame menjadi B-frame. Ketiga rotasi tersebut adalah *roll*, *pitch* dan *yaw*. Untuk mencari persamaan ketiga bentuk rotasi tersebut digunakan Euler Model.

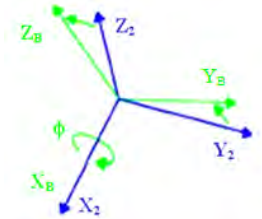
$$\Theta E = [\phi \ \theta \ \psi]^T \quad (2.2)$$

Matriks rotasi $R\Theta$ diperoleh dari perkalian tiga rotasi matriks, seperti pada Gambar 2.7, Gambar 2.8 dan Gambar 2.9.

a. Rotasi sumbu X

Rotasi di sekitar sumbu x_2 oleh sudut ϕ (*roll*) dengan matriks rotasi $R(\phi)$, ditunjukkan pada Gambar 2.7.

$$\begin{cases} x_2 = x_B \\ y_2 = y_B \cos \phi - z_B \sin \phi \\ z_2 = z_B \cos \phi + y_B \sin \phi \end{cases} \quad (2.3)$$



Gambar 2.7 Rotasi di Sekitar Sumbu x_2 oleh Sudut ϕ (*Roll*)

Persamaan (2.3) dapat dibuat dalam bentuk matriks menjadi Persamaan (2.4).

$$\begin{bmatrix} x_2 \\ y_2 \\ z_2 \end{bmatrix} = \begin{bmatrix} 1 & 0 & 0 \\ 0 & \cos \phi & -\sin \phi \\ 0 & \sin \phi & \cos \phi \end{bmatrix} \begin{bmatrix} x_B \\ y_B \\ z_B \end{bmatrix} \quad (2.4)$$

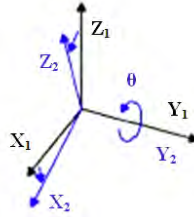
Jadi persamaan matriks $R(\theta)$, adalah sebagai berikut:

$$R(\phi) = \begin{bmatrix} 1 & 0 & 0 \\ 0 & \cos \phi & -\sin \phi \\ 0 & \sin \phi & \cos \phi \end{bmatrix} \quad (2.5)$$

b. Rotasi sumbu Y

Rotasi di sekitar sumbu y_1 oleh sudut θ (*pitch*) dengan matriks rotasi $R(\theta)$, ditunjukkan pada Gambar 2.8.

$$\begin{cases} x_1 = x_2 \cos \theta + z_2 \sin \theta \\ y_1 = y_2 \\ z_1 = z_2 \cos \theta - x_2 \sin \theta \end{cases} \quad (2.6)$$



Gambar 2.8 Rotasi di Sekitar Sumbu y_1 oleh Sudut θ (*Pitch*)

Persamaan (2.6) dapat dibuat dalam bentuk matriks menjadi Persamaan (2.7).

$$\begin{bmatrix} x1' \\ y1' \\ z1' \end{bmatrix} = \begin{bmatrix} \cos \theta & 0 & \sin \theta \\ 0 & 1 & 0 \\ -\sin \theta & 0 & \cos \theta \end{bmatrix} \begin{bmatrix} x1' \\ y1' \\ z1' \end{bmatrix} \quad (2.7)$$

Jadi persamaan matriks $R(\theta)$, adalah sebagai berikut:

$$\mathbf{R}(\theta) = \begin{bmatrix} \cos \theta & 0 & \sin \theta \\ 0 & 1 & 0 \\ -\sin \theta & 0 & \cos \theta \end{bmatrix} \quad (2.8)$$

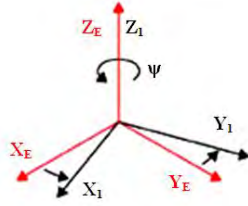
c. Rotasi sumbu Z

Rotasi di sekitar sumbu zE oleh sudut ψ (*yaw*) dengan matriks rotasi $R(\psi)$, ditunjukkan pada Gambar 2.9.

$$\begin{cases} x_E = x_1' \cos \psi - y_1' \sin \psi \\ y_E = y_1' \cos \psi + x_1' \sin \psi \\ z_E = z_1 \end{cases} \quad (2.9)$$

Persamaan (2.9) dapat dibuat dalam bentuk matriks menjadi persamaan (2.10).

$$\begin{bmatrix} xE' \\ yE' \\ zE' \end{bmatrix} = \begin{bmatrix} \cos \psi & -\sin \psi & 0 \\ \sin \psi & \cos \psi & 0 \\ 0 & 0 & 1 \end{bmatrix} \begin{bmatrix} x1' \\ y1' \\ z1' \end{bmatrix} \quad (2.10)$$



Gambar 2.9 Rotasi di Sekitar Sumbu Z_E oleh Sudut ψ (Yaw)

Jadi persamaan matriks $R(\psi)$, adalah:

$$R(\psi) = \begin{bmatrix} \cos \psi & -\sin \psi & 0 \\ \sin \psi & \cos \psi & 0 \\ 0 & 0 & 1 \end{bmatrix} \quad (2.11)$$

Dari ketiga persamaan diatas, diperoleh persamaan matriks untuk gerak rotasi, yaitu:

$$R\Theta = R(\phi) R(\theta) R(\psi) \quad (2.12)$$

$$R\Theta = \begin{bmatrix} c_\psi c_\theta & -s_\psi c_\theta + c_\psi s_\theta s_\phi & s_\psi s_\theta + c_\psi s_\theta s_\phi \\ s_\psi c_\theta & c_\psi c_\theta + s_\psi s_\theta s_\phi & -c_\psi s_\theta + s_\psi s_\theta s_\phi \\ -s_\theta & c_\theta s_\phi & c_\theta c_\phi \end{bmatrix} \quad (2.13)$$

Didalam persamaan sebelum dan sesudah ini, ada beberapa notasi yaitu $c_k = \cos k$, $s_k = \sin k$, $t_k = \tan k$. Seperti yang telah dinyatakan sebelumnya, kecepatan linear VB dan angular ω_B diperlihatkan oleh body-fixed frame (B-frame). Komposisi vektornya disajikan pada Persamaan (2.14) dan (2.15).

$$VB = [u \quad v \quad w]^T \quad (2.14)$$

$$\omega_B = [p \quad q \quad r]^T \quad (2.15)$$

Diperlukan kombinasi nilai linear dan angular untuk memberikan representasi yang lengkap dalam space. ξ merupakan komposisi dari vektor posisi linier Γ_E (m) dan vektor posisi sudut Θ_E (rad) terhadap E-frame seperti terlihat pada persamaan (2.16).

$$\xi = [\Gamma^E \ \Theta^E]^T = [X \ Y \ Z \ \phi \ \theta \ \psi]^T \quad (2.16)$$

\mathbf{V} merupakan generalisasi dari vektor kecepatan linier *quadcopter* \mathbf{V}_B (m s⁻¹) dan kecepatan angular *quadcopter* ω_B (rad s⁻¹) pada B-frame seperti terlihat pada persamaan dibawah ini:

$$\mathbf{V} = [\mathbf{V}^B \ \omega^B]^T = [u \ v \ w \ p \ q \ r]^T \quad (2.17)$$

Hubungan antara kecepatan linear pada B-frame dan salah satu factor pada E-frame \mathbf{V}_E (atau Γ^E) [m/s] menyebabkan matriks rotasi \mathbf{R}_Θ menurut Persamaan (2.18).

$$\mathbf{V}^E = \dot{\Gamma}^E = \mathbf{R}_\Theta \mathbf{V}^B \quad (2.18)$$

Seperti pada kecepatan linear, hal tersebut juga berlaku untuk menghubungkan kecepatan angular pada E-frame (atau kecepatan Euler) Θ^E [rad/s] ke B-frame ω_B berkat matriks transformasi \mathbf{T}_Θ . Persamaan (2.18) dan (2.19) menunjukkan hubungan tersebut.

$$\omega^B = \mathbf{T}_\Theta^{-1} \dot{\Theta}^E \quad (2.19)$$

$$\dot{\Theta}^E = \mathbf{T}_\Theta \omega^B \quad (2.20)$$

Matriks transformasi \mathbf{T}_Θ dapat ditetapkan dengan menggunakan kecepatan Euler dalam B-frame, dengan membalik pola perputaran sudut dari *roll*, *pitch* dan *yaw* seperti pada Persamaan (2.21).

$$\begin{bmatrix} p \\ q \\ r \end{bmatrix} = \begin{bmatrix} \dot{\phi} \\ 0 \\ 0 \end{bmatrix} + R(\phi)^{-1} \begin{bmatrix} 0 \\ \dot{\theta} \\ 0 \end{bmatrix} + R(\phi)^{-1} R(\theta)^{-1} \begin{bmatrix} 0 \\ 0 \\ \dot{\psi} \end{bmatrix} \quad (2.21)$$

$$\begin{bmatrix} p \\ q \\ r \end{bmatrix} = \mathbf{T}_\Theta^{-1} \begin{bmatrix} \dot{\phi} \\ \dot{\theta} \\ \dot{\psi} \end{bmatrix} \quad (2.22)$$

Dari persamaan (2.13) dan (2.19) maka diperoleh matriks transformasi dari bingkai bodi menuju bingkai bumi.

$$\mathbf{T}_{\Theta}^{-1} = \begin{bmatrix} 1 & 0 & -s_{\theta} \\ 0 & c_{\phi} & c_{\theta}s_{\phi} \\ 0 & -s_{\phi} & c_{\phi}c_{\theta} \end{bmatrix} \quad (2.23)$$

$$\mathbf{T}_{\Theta} = \begin{bmatrix} 1 & s_{\phi}t_{\theta} & c_{\phi}t_{\theta} \\ 0 & c_{\phi} & -s_{\phi} \\ 0 & s_{\phi}/c_{\theta} & c_{\phi}/c_{\theta} \end{bmatrix} \quad (2.24)$$

2.1.3 Pemodelan Dinamik *Quadcopter*

Pada bagian ini, akan dipelajari model dinamika *Quadcopter* UAV secara umum. Dinamika merupakan kebalikan dari kinematika, yang mempelajari gerak suatu objek tanpa memperhatikan apa penyebabnya. Sistem yang relatif ringan dan mampu terbang diudara, bentuk dinamik idealnya meliputi gyroscopic effect yang merupakan hasil resultan dari rotasi rigid-body pesawat diangkasa dan rotasi keempat propelernya. Model dinamik UAV menggunakan formulasi Euler-Lagrange.

$$\left\{ \begin{array}{l} m \ddot{\Gamma}^E = F^E \\ m \overbrace{\ddot{\mathbf{R}}_{\Theta} \mathbf{V}^B}^{\dot{\mathbf{R}}_{\Theta} \mathbf{V}^B} = \mathbf{R}_{\Theta} F^B \\ m (\mathbf{R}_{\Theta} \dot{\mathbf{V}}^B + \dot{\mathbf{R}}_{\Theta} \mathbf{V}^B) = F^B \\ m \mathbf{R}_{\Theta} (\dot{\mathbf{V}}^B + \boldsymbol{\omega}^B \times \mathbf{V}^B) = \mathbf{R}_{\Theta} F^B \\ m (\dot{\mathbf{V}}^B + \boldsymbol{\omega}^B \times \mathbf{V}^B) = F^B \end{array} \right. \quad (2.25)$$

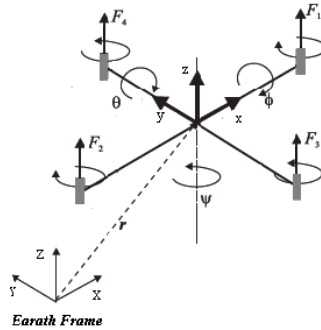
Persamaan (2.25) merupakan aksioma pertama Euler dari Hukum Kedua Newton, turunan dari komponen linear dari gerakan suatu benda. Dimana m (kg) adalah massa *quadcopter*, $\ddot{\Gamma}^E$ (m s⁻²) adalah vektor percepatan linear *quadcopter* yang mengacu pada E-frame, F^E (N) adalah vektor gaya *quadcopter* terhadap E-frame, $\dot{\mathbf{V}}^B$ (m s⁻²) adalah percepatan linear *quadcopter* terhadap B-frame, dan $\dot{\mathbf{R}}_{\Theta}$ adalah turunan pertama matriks rotasi. Dan simbol \times merupakan perkalian produk suatu vektor.

Berdasarkan aksioma kedua Euler dari Hukum Kedua Newton, dengan cara yang sama, turunan dari gerakan angular komponen dari suatu benda dapat dilihat pada Persamaan (2.26).

$$\begin{cases} I\ddot{\Theta}^E = \tau^E \\ I \overbrace{T_{\Theta}^B}^{\dot{\omega}^B} = T_{\Theta}^B \tau^B \\ I\dot{\omega}^B + \omega^B \times (I\omega^B) = \tau^B \end{cases} \quad (2.26)$$

Pada Persamaan (2.26), I (N m s²) adalah matriks inersia *quadcopter* (pada B-frame), $\ddot{\Theta}^E$ (rad s⁻²) adalah vektor percepatan sudut *quadcopter* terhadap E-frame, $\dot{\omega}^B$ (rad s⁻²) adalah vektor percepatan sudut *quadcopter* terhadap B-frame, dan τ^E (N m) adalah torsi *quadcopter* terhadap E-frame. Dari Persamaan (2.25) dan (2.26), dapat dibentuk persamaan benda kaku dengan 6 derajat kebebasan (DOF). Persamaan (2.27) menunjukkan formulasi matriks dari dinamika sistem. *Quadcopter* memiliki empat buah motor yang menghasilkan gaya dorong seperti terlihat pada Gambar 2.10.

$$\begin{bmatrix} m I_{3 \times 3} & 0_{3 \times 3} \\ 0_{3 \times 3} & I \end{bmatrix} \begin{bmatrix} \dot{V}^B \\ \dot{\omega}^B \end{bmatrix} + \begin{bmatrix} \omega^B \times (mV^B) \\ \omega^B \times (I\omega^B) \end{bmatrix} = \begin{bmatrix} F^B \\ \tau^B \end{bmatrix} \quad (2.27)$$



Gambar 2.10 Gambar E-frame dan B-frame *Quadcopter* beserta empat gaya yang bekerja disetiap propeler

Dimana notasi $I_{3 \times 3}$ berarti matriks identitas 3×3 . Dan $0_{3 \times 3}$ adalah matriks nol 3×3 . Vektor gaya yang terjadi pada *quadcopter* dapat ditentukan berdasarkan persamaan (2.28).

$$\Lambda = [F^B \ \tau^B]^T = [F_x \ F_y \ F_z \ \tau_x \ \tau_y \ \tau_z]^T \quad (2.28)$$

Persamaan (2.28) dapat juga ditulis dalam bentuk formulasi matriks seperti pada persamaan (2.29).

$$\mathbf{M}_B \dot{\mathbf{v}} + \mathbf{C}_B(\mathbf{v})\mathbf{v} = \mathbf{\Lambda} \quad (2.29)$$

Dimana $\dot{\mathbf{v}}$ adalah vektor percepatan *quadcopter* terhadap B-frame. \mathbf{M}_B adalah matriks inersia sistem dan \mathbf{C}_B adalah matriks sentripetal Coriolis. Persamaan (2.30) menunjukkan matriks \mathbf{M}_B .

$$\mathbf{M}_B = \begin{bmatrix} m I_{3 \times 3} & \mathbf{0}_{3 \times 3} \\ \mathbf{0}_{3 \times 3} & I \end{bmatrix} = \begin{bmatrix} m & 0 & 0 & 0 & 0 & 0 \\ 0 & m & 0 & 0 & 0 & 0 \\ 0 & 0 & m & 0 & 0 & 0 \\ 0 & 0 & 0 & I_{XX} & 0 & 0 \\ 0 & 0 & 0 & 0 & I_{YY} & 0 \\ 0 & 0 & 0 & 0 & 0 & I_{ZZ} \end{bmatrix} \quad (2.30)$$

Dapat dilihat bahwa matriks \mathbf{M}_B adalah matriks diagonal, sedangkan matriks \mathbf{C}_B ditunjukkan oleh Persamaan (2.31).

$$\mathbf{C}_B = \begin{bmatrix} \mathbf{0}_{3 \times 3} & -m \mathbf{S}(\mathbf{V}_B) \\ \mathbf{0}_{3 \times 3} & -\mathbf{S}(I \boldsymbol{\omega}_B) \end{bmatrix}$$

$$\mathbf{C}_B = \begin{bmatrix} 0 & 0 & 0 & 0 & m w & -m v \\ 0 & 0 & 0 & -m w & 0 & m u \\ 0 & 0 & 0 & m v & -m u & 0 \\ 0 & 0 & 0 & 0 & I_{ZZ} r & -I_{YY} q \\ 0 & 0 & 0 & -I_{ZZ} r & 0 & I_{XX} p \\ 0 & 0 & 0 & I_{YY} q & -I_{XX} p & 0 \end{bmatrix} \quad (2.31)$$

Pada persamaan ini, diadopsi operator skew-symmetric $\mathbf{S}(\cdot)$. Untuk vektor 3 dimensi \mathbf{k} , matriks skew-symmetric dari \mathbf{k} ($\mathbf{S}(\mathbf{k})$) ditunjukkan pada Persamaan (2.32).

$$\mathbf{S}(\mathbf{k}) = -\mathbf{S}^T(\mathbf{k}) = \begin{bmatrix} 0 & -k_3 & k_1 \\ k_3 & 0 & -k_1 \\ -k_2 & k_1 & 0 \end{bmatrix}, \mathbf{k} = \begin{bmatrix} k_1 \\ k_2 \\ k_3 \end{bmatrix} \quad (2.32)$$

Matriks $\mathbf{\Lambda}$ dapat dibagi menjadi tiga komponen menurut kontribusi sifat dasar *quadcopter*. Yang pertama adalah vektor gravitasi $\mathbf{GB}(\boldsymbol{\xi})$ yang diperoleh dari percepatan gravitasi g (m s⁻²). Percepatan gravitasi hanya berlaku pada persamaan linear *quadcopter*. Persamaan matriks $\mathbf{GB}(\boldsymbol{\xi})$ dituliskan pada Persamaan (2.33).

$$\begin{aligned}
\mathbf{G}_B(\xi) &= \begin{bmatrix} F_{GB} \\ 0_{3 \times 1} \end{bmatrix} = \begin{bmatrix} \mathbf{R}_\theta^{-1} F_{GE} \\ 0_{3 \times 1} \end{bmatrix} \\
\mathbf{G}_B(\xi) &= \begin{bmatrix} \mathbf{R}_\theta^T & \begin{bmatrix} 0 \\ 0 \\ -mg \end{bmatrix} \\ 0_{3 \times 1} \end{bmatrix} = \begin{bmatrix} mg \sin \theta \\ -mg \cos \theta \sin \phi \\ -mg \cos \theta \sin \phi \\ 0 \\ 0 \\ 0 \end{bmatrix} \quad (2.33)
\end{aligned}$$

di mana \mathbf{FGB} (N) adalah vektor gaya gravitasi terhadap B-frame dan \mathbf{FGE} (N) terhadap E-frame. \mathbf{R}_θ adalah matriks ortogonal, sehingga matriks inversnya sama dengan matriks transposnya.

Kontribusi yang kedua mengenai efek giroskopis yang dihasilkan oleh perputaran propeler. Selama dua propeler yang berhadapan berputar searah jarum jam dan dua propeler lainnya berputar berlawanan arah jarum jam, terjadi ketidak-seimbangan saat jumlah aljabar dari kecepatan motor tidak sama dengan nol. Jika *roll* dan *pitch* juga tidak nol, *quadcopter* akan mengalami torsi efek giroskopis yang ditunjukkan pada Persamaan (2.34).

$$\begin{aligned}
\mathbf{O}_B(v)\Omega &= \begin{bmatrix} 0_{3 \times 1} \\ -\sum_{k=1}^4 J_{TP} \left(\omega^B \times \begin{bmatrix} 0 \\ 0 \\ 1 \end{bmatrix} \right) (-1)^k \Omega_k \end{bmatrix} \\
\mathbf{O}_B(v)\Omega &= \begin{bmatrix} 0_{3 \times 1} \\ J_{TP} \begin{bmatrix} -q \\ p \\ 0 \end{bmatrix} \Omega \end{bmatrix} \\
\mathbf{O}_B(v)\Omega &= J_{TP} \begin{bmatrix} 0 & 0 & 0 & 0 \\ 0 & 0 & 0 & 0 \\ 0 & 0 & 0 & 0 \\ -q & -q & -q & -q \\ -p & p & -p & p \\ 0 & 0 & 0 & 0 \end{bmatrix} \Omega \quad (2.34)
\end{aligned}$$

\mathbf{O}_B adalah matriks giroskopis dari propeler dan JTP (N m s²) adalah momen inersia total di sekitar sumbu propeler. Efek giroskopis yang dihasilkan oleh putaran propeler hanya berhubungan dengan

persamaan angular, dan tidak mempengaruhi persamaan linear. Ω (rad s⁻¹) merupakan vektor kecepatan putar propeler, yang ditunjukkan oleh Persamaan (2.35).

$$\Omega = -\Omega_1 + \Omega_2 - \Omega_3 + \Omega_4, \quad \Omega = \begin{bmatrix} \Omega_1 \\ \Omega_2 \\ \Omega_3 \\ \Omega_4 \end{bmatrix} \quad (2.35)$$

di mana Ω_1 , Ω_2 , Ω_3 , dan Ω_4 (rad s⁻¹) adalah kecepatan propeler depan, kanan, belakang, dan kiri.

Kontribusi yang ketiga adalah perhitungan gaya dan torsi yang dihasilkan oleh pergerakan input. Pergerakan matriks EB dikali dengan Ω_2 untuk memperoleh vektor perpindahan $UB(\Omega)$. Efek aerodinamis (factor thrust b (N s²) dan drag d (N m s²)) berpengaruh pada gaya dan torsi yang dihasilkan. Persamaan vektor perpindahan pada dinamika *quadcopter* ditunjukkan pada Persamaan (2.36).

$$U_B(\Omega) = E_B \Omega^2 = \begin{bmatrix} 0 \\ 0 \\ U_1 \\ U_2 \\ U_3 \\ U_4 \end{bmatrix} = \begin{bmatrix} 0 \\ 0 \\ b(\Omega_1^2 + \Omega_2^2 + \Omega_3^2 + \Omega_4^2) \\ bl(-\Omega_2^2 + \Omega_4^2) \\ bl(-\Omega_1^2 + \Omega_3^2) \\ d(-\Omega_1^2 + \Omega_2^2 - \Omega_3^2 + \Omega_4^2) \end{bmatrix} \quad (2.36)$$

di mana l (m) adalah jarak antara pusat *quadcopter* dengan pusat propeler. U_1 , U_2 , U_3 , dan U_4 adalah komponen vektor gerak. Hubungan komponen vektor tersebut dengan propeler dapat diperoleh dari perhitungan aerodinamis.

Dari persamaan sebelumnya, dapat diketahui konstanta matriks EB yang dikalikan dengan kuadrat dari kecepatan propeler Ω_2 sehingga menghasilkan $UB(\Omega)$. Persamaan (2.37) menunjukkan matriks EB .

$$E_B = \begin{bmatrix} 0 & 0 & 0 & 0 \\ 0 & 0 & 0 & 0 \\ b & b & b & b \\ 0 & -bl & 0 & bl \\ -bl & 0 & bl & 0 \\ -d & d & -d & d \end{bmatrix} \quad (2.37)$$

Dari Persamaan (2.29), dinamika *quadcopter* dapat dibuat dengan mempertimbangkan ketiga kontribusi menurut Persamaan (2.38).

$$\mathbf{M}_B \dot{\mathbf{v}} + \mathbf{C}_B(\mathbf{v})\mathbf{v} = \mathbf{G}_B(\xi) + \mathbf{O}_B(\mathbf{v}) \boldsymbol{\Omega} + \mathbf{E}_B \boldsymbol{\Omega}^2 \quad (2.38)$$

Dengan mengatur ulang persamaan (2.38) diatas, turunan dari vektor kecepatan terhadap B-frame dapat dirumuskan sebagai berikut:

$$\dot{\mathbf{v}} = \mathbf{M}_B^{-1} (\mathbf{C}_B(\mathbf{v})\mathbf{v} + \mathbf{G}_B(\xi) + \mathbf{O}_B(\mathbf{v}) \boldsymbol{\Omega} + \mathbf{E}_B \boldsymbol{\Omega}^2) \quad (2.39)$$

Persamaan (2.40) menunjukkan persamaan-persamaan sebelumnya bukan dalam bentuk matriks, melainkan dalam bentuk sistem persamaan.

$$\begin{cases} \dot{u} = (v r - w q) + g s_\theta \\ \dot{v} = (w p - u r) - g c_\theta s_\phi \\ \dot{w} = (u q - v p) - g c_\theta s_\phi + \frac{U_1}{m} \\ \dot{p} = \frac{I_{YY} - I_{ZZ}}{I_{XX}} q r - \frac{J_{TP}}{I_{XX}} q \Omega + \frac{U_2}{I_{XX}} \\ \dot{q} = \frac{I_{ZZ} - I_{XX}}{I_{YY}} p r - \frac{J_{TP}}{I_{YY}} p \Omega + \frac{U_3}{I_{YY}} \\ \dot{r} = \frac{I_{XX} - I_{YY}}{I_{ZZ}} p q - \frac{U_4}{I_{ZZ}} \end{cases} \quad (2.40)$$

Persamaan input kecepatan propeller (baling-baling) dapat dilihat dalam Persamaan (2.41).

$$\begin{cases} U_1 = b(\Omega_1^2 + \Omega_2^2 + \Omega_3^2 + \Omega_4^2) \\ U_2 = bl(-\Omega_2^2 + \Omega_4^2) \\ U_3 = bl(-\Omega_1^2 + \Omega_3^2) \\ U_4 = d(-\Omega_1^2 + \Omega_2^2 - \Omega_3^2 + \Omega_4^2) \\ \Omega = -\Omega_1 + \Omega_2 - \Omega_3 + \Omega_4 \end{cases} \quad (2.41)$$

Persamaan sistem dinamik *quadcopter* (2.40) diperoleh dari B-frame. Dalam pemodelannya, dibutuhkan persamaan dinamik sistem yang mencakup sistem hybrid yang disusun oleh persamaan linear dari E-frame dan persamaan angular dari B-frame. Hal ini dilakukan untuk mempermudah pengaturan. Persamaan-persamaan berikut akan disajikan

dalam kerangka “hybrid”, atau H-frame. Persamaan (2.42) menunjukkan vektor kecepatan *quadcopter* yang digeneralisasi pada H-frame.

$$\dot{\xi} = [\Gamma^E \quad \omega^B]^T = [\dot{X} \quad \dot{Y} \quad \dot{Z} \quad p \quad q \quad r]^T \quad (2.42)$$

Dinamika sistem pada H-frame dapat dituliskan dalam bentuk matriks menurut Persamaan (2.43).

$$\mathbf{M}_H \dot{\xi} + \mathbf{C}_H(\xi)\xi = \mathbf{G}_H + \mathbf{O}_H(\xi) \boldsymbol{\Omega} + \mathbf{E}_H(\xi)\boldsymbol{\Omega}^2 \quad (2.43)$$

Berikut ini akan ditentukan semua matriks dan vektor yang ditunjukkan oleh persamaan di atas. Matriks inersia sistem terhadap H-frame \mathbf{M}_H sama dengan matriks inersia sistem terhadap B-frame, dan ditentukan seperti pada Persamaan (2.44).

$$\mathbf{M}_H = \mathbf{M}_B = \begin{bmatrix} m & 0 & 0 & 0 & 0 & 0 \\ 0 & m & 0 & 0 & 0 & 0 \\ 0 & 0 & m & 0 & 0 & 0 \\ 0 & 0 & 0 & I_{XX} & 0 & 0 \\ 0 & 0 & 0 & 0 & I_{YY} & 0 \\ 0 & 0 & 0 & 0 & 0 & I_{ZZ} \end{bmatrix} \quad (2.44)$$

Namun, matriks sentripetal Coriolis terhadap H-frame $\mathbf{C}_H(\xi)$ tidak sama dengan matriks sentripetal Coriolis terhadap B-frame dan ditentukan seperti pada Persamaan (2.45).

$$\mathbf{C}_H(\xi) = \begin{bmatrix} 0_{3 \times 3} & 0_{3 \times 3} \\ 0_{3 \times 3} & -S(I \omega_B) \end{bmatrix} \quad (2.45)$$

Vektor gravitasi terhadap H-frame \mathbf{G}_H dituliskan pada Persamaan (2.46). Dapat dilihat bahwa gravitasi mempengaruhi ketiga persamaan linear, namun lebih berpengaruh terhadap ketinggian *quadcopter*.

$$\mathbf{G}_H = \begin{bmatrix} F_G^E \\ 0_{3 \times 1} \end{bmatrix} = \begin{bmatrix} 0 \\ 0 \\ -mg \\ 0 \\ 0 \\ 0 \end{bmatrix} \quad (2.46)$$

Efek giroskopis yang dihasilkan oleh putaran propeler tidak berubah karena hanya mempengaruhi persamaan angular yang mengacu kepada B-frame. Oleh karena itu, matriks giroskopis terhadap H-frame $\mathbf{O}_H(\xi)$ dibuat sama dengan Persamaan (2.47).

$$\begin{aligned}\mathbf{O}_H(\xi)\boldsymbol{\Omega} &= \mathbf{O}_B(\nu)\boldsymbol{\Omega} = \begin{bmatrix} \mathbf{0}_{3 \times 1} \\ J_{TP} \begin{bmatrix} -q \\ p \\ 0 \end{bmatrix} \end{bmatrix} \boldsymbol{\Omega} \\ &= J_{TP} \begin{bmatrix} 0 & 0 & 0 & 0 \\ 0 & 0 & 0 & 0 \\ 0 & 0 & 0 & 0 \\ q & -q & q & -q \\ -p & p & -p & p \\ 0 & 0 & 0 & 0 \end{bmatrix} \boldsymbol{\Omega}\end{aligned}\quad (2.47)$$

Matriks perpindahan terhadap H-frame $\mathbf{E}_H(\xi)$ berbeda dengan perpindahan terhadap B-frame karena input U_1 mempengaruhi semua persamaan linear dengan matriks rotasi \mathbf{R}_θ . Perkalian produk antara matriks perpindahan dengan kuadrat kecepatan propeler ditunjukkan pada Persamaan (2.48).

$$\begin{aligned}\mathbf{E}_H(\xi)\boldsymbol{\Omega}^2 &= \begin{bmatrix} \mathbf{R}_\theta & \mathbf{0}_{3 \times 3} \\ \mathbf{0}_{3 \times 3} & \mathbf{I}_{3 \times 3} \end{bmatrix} \mathbf{E}_B\boldsymbol{\Omega}^2 \\ &= \begin{bmatrix} (s_\psi s_\phi + c_\psi s_\theta c_\phi)U_1 \\ (-c_\psi s_\phi + s_\psi s_\theta c_\phi)U_1 \\ (c_\theta c_\phi)U_1 \\ U_2 \\ U_3 \\ U_4 \end{bmatrix}\end{aligned}\quad (2.48)$$

Dengan menyusun kembali Persamaan (2.43), dapat ditemukan rumus untuk turunan vektor kecepatan yang digeneralisasi terhadap H-frame yang dapat dilihat pada persamaan (2.49).

$$\dot{\xi} = \mathbf{M}_H^{-1} (\mathbf{C}_H(\xi)\xi + \mathbf{G}_H + \mathbf{O}_H(\xi)\boldsymbol{\Omega} + \mathbf{E}_H(\xi)\boldsymbol{\Omega}^2) \quad (2.49)$$

2.1.4 Model Matematika *Quadcopter*

Dari analisis kinematika dan dinamika diperoleh Persamaan model matematika dari *quadcopter* seperti pada Persamaan (2.50).

$$\begin{cases} \dot{X} = \frac{U_1}{m} (\sin \psi \sin \phi + \cos \psi \sin \theta \cos \phi) \\ \dot{Y} = \frac{U_1}{m} (-\cos \psi \sin \phi + \sin \psi \sin \theta \cos \phi) \\ \dot{Z} = -g + \frac{U_1}{m} (\cos \theta \cos \phi) \\ \dot{p} = \frac{I_{YY} - I_{ZZ}}{I_{XX}} q r - \frac{J_{TP}}{I_{XX}} q \Omega + \frac{U_2}{I_{XX}} \\ \dot{q} = \frac{I_{ZZ} - I_{XX}}{I_{YY}} p r - \frac{J_{TP}}{I_{YY}} p \Omega + \frac{U_3}{I_{YY}} \\ \dot{r} = \frac{I_{XX} - I_{YY}}{I_{ZZ}} p q - \frac{U_4}{I_{ZZ}} \end{cases} \quad (2.50)$$

Dengan melihat secara sederhana pada Persamaan (2.50), posisi pada sumbu Z, dan posisi sudut *roll*, *pitch*, *yaw* dapat dikontrol secara langsung, berturut-turut dengan menggunakan U1, U2, U3, dan U4. Kontrol pada posisi maju (X), dan menyamping (Y) dapat dilakukan dengan mengatur sudut *pitch* dan *roll* dengan syarat gaya angkat (U1) tidak sama dengan nol.

Nilai input dari *quadcopter* merupakan gaya angkat tiap propeler, yang telah dimodelkan secara teoritis dalam persamaan (2.41), adalah sebagai berikut:

$$\begin{cases} U_1 = b(\Omega_1^2 + \Omega_2^2 + \Omega_3^2 + \Omega_4^2) \\ U_2 = bl(-\Omega_2^2 + \Omega_4^2) \\ U_3 = bl(-\Omega_1^2 + \Omega_3^2) \\ U_4 = d(-\Omega_1^2 + \Omega_2^2 - \Omega_3^2 + \Omega_4^2) \\ \Omega = -\Omega_1 + \Omega_2 - \Omega_3 + \Omega_4 \end{cases} \quad (2.51)$$

2.2 Feedback Linearization [7]

Suatu sistem yang kompleks memiliki hubungan antara besaran-besaran fisik dalam sistem bersifat nonlinear. Untuk menyelesaikan persoalan nonlinear, dapat digunakan dengan menggunakan pendekatan persamaan linear. Salah satu karakteristik dari sistem nonlinear adalah ketergantungan perilaku respon sistem pada besaran dan input dari sistem.

Quadcopter merupakan sistem yang memiliki hubungan antar variable bersifat nonlinear. Pada Persamaan (2.50) terlihat bahwa

persamaan tersebut terdapat hubungan antar variable bersifat nonlinear karena terdapat fungsi trigonometri. Untuk dapat melakukan proses kontrol yang menggunakan kontroler linear, maka model matematika tersebut harus dilinearisasi. Teori linearisasi digunakan untuk mengatasi permasalahan sistem nonlinear agar dapat didekati dengan sistem linear.

Pada penelitian ini digunakan teknik linearisasi *feedback* linearization di mana merupakan salah satu teknik linearisasi dengan melakukan modifikasi pada variabel yang dikontrol sehingga dapat didekati dengan sistem linear. Diagram blok *feedback* linearization dapat dilihat pada Gambar 2.11. Misalkan suatu sistem mempunyai persamaan state seperti Persamaan (2.52).

$$\begin{aligned}\dot{x} &= f(x) + g(x)u \\ y &= h(x)\end{aligned}\tag{2.52}$$

Jika Persamaan (2.52) ditambahkan dengan suatu fungsi yang bernilai 0 maka Persamaan (2.52) tidak berubah. Sehingga Persamaan 2.52 menjadi Persamaan (2.53).

$$\dot{x} = f(x) + g(x)u + Ax - Ax + Bu^* - Bu^*\tag{2.53}$$

Agar Persamaan (2.53) menjadi persamaan state linier maka persamaan $f(x) + g(x)u - Ax - Bu^*$ disama dengankan dengan nol. Sehingga didapatkan Persamaan (2.54).

$$u = g(x)^{-1}(Ax + Bu^* - f(x))\tag{2.54}$$

2.3 Kontroler

Dalam sebuah sistem kontrol, kontroler mempunyai kontribusi yang besar terhadap perilaku sistem. Pada prinsipnya hal itu disebabkan oleh tidak dapat diubahnya komponen penyusun sistem tersebut. Artinya, karakteristik *plant* harus diterima sebagaimana adanya, sehingga perubahan perilaku sistem hanya dapat dilakukan melalui penambahan suatu sub sistem, yaitu kontroler [8].

Salah satu tugas kontroler adalah meminimalkan sinyal kesalahan, yaitu perbedaan antara sinyal set point dan sinyal aktual. Hal ini sesuai dengan tujuan sistem kontrol yaitu memperoleh sinyal aktual yang senantiasa (diinginkan) sama dengan sinyal setpoint. Semakin cepat reaksi sistem (sinyal aktual) mengikuti sinyal setpoint dan semakin kecil

kesalahan yang terjadi, semakin baiklah kinerja sistem kontrol yang diterapkan.

Dalam Sub bab ini akan dibahas teori tentang kontroler yang digunakan dalam penelitian, yaitu kontroler proporsional, integral dan deferensial dan *Model Predictive Control* (MPC).

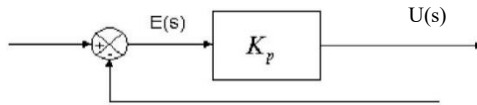
2.3.1 Kontroler Proporsional, Integral, dan *Derivative* (PID) [9][10]

Didalam suatu sistem kontrol terdapat beberapa macam aksi kontrol, diantaranya yaitu aksi kontrol proporsional, aksi kontrol integral dan aksi kontrol derivative. Masing-masing aksi kontrol ini mempunyai keunggulan-keunggulan tertentu, dimana aksi kontrol proporsional mempunyai keunggulan rise time yang cepat, aksi kontrol integral mempunyai keunggulan untuk memperkecil *error* ,dan aksi kontrol derivative mempunyai keunggulan untuk memperkecil error atau meredam overshoot/undershoot. Untuk itu agar dapat menghasilkan output dengan risetime yang cepat dan error yang kecil dapat dengan menggabungkan ketiga aksi kontrol ini menjadi aksi kontrol PID. Parameter pengontrol Proporsional Integral derivative (PID) selalu didasari atas tinjauan terhadap karakteristik yang di atur (*plant*). Sebelum dikontrol dengan kontroler PID, perilaku *plant* yang akan dikontrol harus di ketahui terlebih dahulu sebelum pencarian parameter PID dilakukan.

2.3.1.1 Kontroler Proporsional

Kontroler proposional memiliki keluaran yang sebanding atau proposional dengan besarnya sinyal kesalahan (selisih antara besaran yang di inginkan dengan harga aktualnya). Secara lebih sederhana dapat dikatakan bahwa keluaran pengontrol proporsional merupakan perkalian antara konstanta proposional dengan masukannya. Perubahan pada sinyal masukan akan segera menyebabkan sistem secara langsung mengeluarkan output sinyal sebesar konstanta pengalinya.

Gambar 2.11 menunjukkan blok diagram yang menggambarkan hubungan antara besaran setting, besaran aktual dengan besaran keluaran pengontrol proporsional. Sinyal keasalahan (*error*) merupakan selisih antara besaran setting dengan besaran aktualnya. Selisih ini akan mempengaruhi pengontrol, untuk mengeluarkan sinyal positif (mempercepat pencapaian harga setting) atau negatif (memperlambat tercapainya harga yang diinginkan).



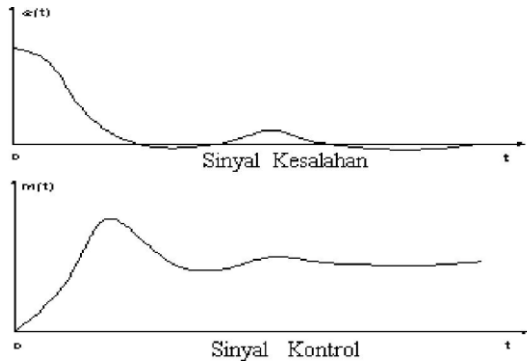
Gambar 2.11 Diagram blok kontroler proporsional

2.3.1.2 Kontroler Integral

Pengontrol integral berfungsi menghasilkan respon sistem yang memiliki kesalahan keadaan stabil nol. Jika sebuah *plant* tidak memiliki unsur integrator ($1/s$), pengontrol proposional tidak akan mampu menjamin keluaran sistem dengan kesalahan keadaan stabilnya nol. Dengan pengontrol integral, respon sistem dapat diperbaiki, yaitu mempunyai kesalahan keadaan stabilnya nol.

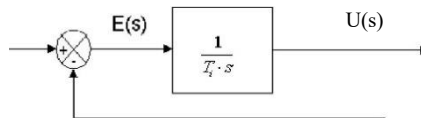
Pengontrol integral memiliki karakteristik seperti halnya sebuah integral. Keluaran sangat dipengaruhi oleh perubahan yang sebanding dengan nilai sinyal kesalahan. Keluaran pengontrol ini merupakan penjumlahan yang terus menerus dari perubahan masukannya. Kalau sinyal kesalahan tidak mengalami perubahan, keluaran akan menjaga keadaan seperti sebelum terjadinya perubahan masukan.

Sinyal keluaran pengontrol integral merupakan luas bidang yang dibentuk oleh kurva kesalahan penggerak. Sinyal keluaran akan berharga sama dengan harga sebelumnya ketika sinyal kesalahan berharga nol. Gambar 2.12 menunjukkan contoh sinyal kesalahan yang dimasukan ke dalam pengontrol integral dan keluaran pengontrol integral terhadap perubahan sinyal kesalahan tersebut.



Gambar 2.12 Kurva sinyal kesalahan $e(t)$ terhadap t pada pembangkit kesalahan nol.

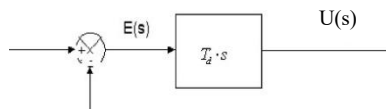
Gambar 2.13 menunjukkan blok diagram antara besaran kesalahan dengan keluaran suatu pengontrol integral.



Gambar 2.13 Diagram blok kontroler integral

2.3.1.3 Kontroler Derivative

Keluaran pengontrol Derivative memiliki sifat seperti halnya suatu operasi differensial. Perubahan yang mendadak pada masukan pengontrol, akan mengakibatkan perubahan yang sangat besar dan cepat. Gambar 2.14 menunjukkan blok diagram yang menggambarkan hubungan antara sinyal kesalahan dengan keluaran pengontrol.

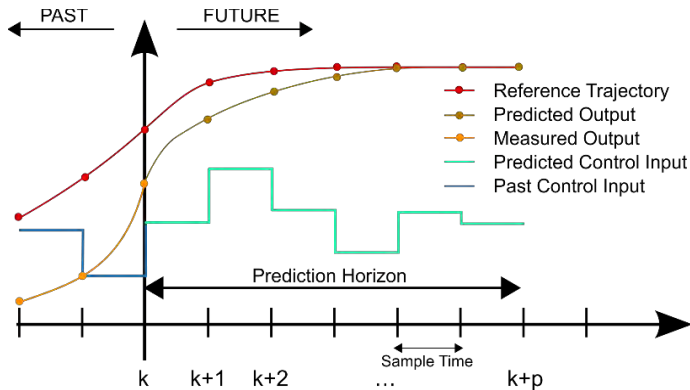


Gambar 2.14 Diagram blok kontroler derivative

2.3.2 Model Predictive Control (MPC) [11]

Tujuan utama dari sebuah *Model Predictive Control* (MPC) adalah untuk menghitung trayektori dari sinyal kontrol u (*manipulated variable*)

yang akan datang untuk mengoptimalkan perilaku yang akan datang (*future behavior*) pada sinyal *output* y pada sebuah *plant* berdasarkan pada nilai pengukuran saat ini dan prediksi dari nilai *output* yang akan datang. Objektif dari kontroler MPC adalah untuk menentukan nilai sinyal kontrol (*sequence of control moves*) sehingga nilai *output* yang diprediksi akan mendekati nilai *setpoint* dengan optimal. Pada Gambar 2.15, dapat dilihat susunan dari nilai *output* saat ini (*actual output*) y , nilai *output* terprediksi (*predicted output*) \hat{y} , dan *manipulated input* atau sinyal kontrol u .



Gambar 2.15 Konsep dari Kontroler *Model Predictive Control*

Pada setiap waktu *sampling* k , kontroler MPC menghitung himpunan dari nilai M atau *control horizon* (selanjutnya disebut N_c) dari *input* $\{u(k+i-1), i=1, 2, \dots, M\}$. Nilai *input* akan ditahan pada nilai konstan setelah M langkah didalam sinyal kontrol tersebut. Nilai *input* akan dihitung sedemikian sehingga nilai himpunan dari P keluaran atau *output* terprediksi $\{y(k+i), i=1, 2, \dots, P\}$ mencapai nilai *setpoint* yang diinginkan. P merupakan nilai dari *prediction horizon* (selanjutnya disebut N_p) pada kontroler MPC. Perhitungan nilai kontrol pada kontroler MPC dihitung berdasarkan nilai optimal dari suatu fungsi objektif atau indeks performansi J .

2.3.2.1 Model State-Space dengan Embedded Integrator

Sistem *Model Predictive Control* didesain berdasarkan oleh model matematika *plant*. Model *plant* yang akan digunakan untuk desain system

control dirubah menjadi model *state space* yang diperlukan untuk memprediksi respon kedepan yang diwakilkan oleh variable saat ini. Untuk mempermudah, diasumsikan *plant* merupakan sistem single-input dan single output yang dapat dideskripsikan sebagai berikut :

$$x_m(k + 1) = A_mx_m(k) + B_mu(k) \quad (2.55)$$

$$y(k) = C_mx_m(k) + D_mu(k) \quad (2.56)$$

di mana u adalah variabel manipulasi, y adalah variabel ouput dan x_m adalah variabel state. Dikarenakan prinsip dari receding *horizon control*, dimana state saat ini dibutuhkan untuk menghitung prediksi dan kontrol, maka dapat diasumsikan bahwa input $u(k)$ tidak dapat mempengaruhi output $y(k)$ pada waktu yang sama. Oleh karena itu D_m dapat diabaikan, sehingga Persamaan (2.55) dan Persamaan (2.56) dapat ditulis sebagai berikut :

$$x_m(k + 1) = A_mx_m(k) + B_mu(k) \quad (2.57)$$

$$y(k) = C_mx_m(k) \quad (2.58)$$

Kedua sisi dari Persamaan (2.57) dilakukan operasi beda, sehingga persamaannya menjadi sebagai berikut :

$$\begin{aligned} x_m(k + 1) - x_m(k) &= A_m(x_m(k) - x_m(k - 1)) \\ &\quad + B_m(u(k) - u(k - 1)) \end{aligned} \quad (2.59)$$

Persamaan beda variable state dapat dinotasikan sebagai berikut :

$$\Delta x_m(k + 1) = x_m(k + 1) - x_m(k) \quad (2.60)$$

$$\Delta x_m(k) = x_m(k) - x_m(k - 1) \quad (2.61)$$

Sedangkan untuk persamaan beda vaiabel *control* dapat dinotasikan sebagai berikut :

$$\Delta u(k) = u(k) - u(k - 1) \quad (2.62)$$

$$\Delta x_m(k + 1) = A_m\Delta x_m(k) + B_m\Delta u(k) \quad (2.63)$$

Untuk menghubungkan $\Delta x_m(k)$ ke output $y(k)$ maka dibentuk vektor variabel state baru yaitu,

$$x(k) = [\Delta x_m(k)^T y(k)]^T \quad (2.64)$$

$$y(k+1) - y(k) = C_m(x_m(k+1) - x_m(k)) = C_m \Delta x_m(k)$$

Atau

$$y(k+1) - y(k) = C_m A_m \Delta x_m(k) + C_m B_m \Delta u(k) \quad (2.65)$$

Persamaan (2.64) dan Persamaan (2.65) digabungkan membentuk model *state space*,

$$\begin{aligned} \overbrace{\begin{bmatrix} \Delta x_m(k+1) \\ y(k+1) \end{bmatrix}}^{x(k+1)} &= \overbrace{\begin{bmatrix} A_m & o_m^T \\ C_m A_m & 1 \end{bmatrix}}^A \begin{bmatrix} \Delta x_m(k) \\ y(k) \end{bmatrix} \\ &+ \overbrace{\begin{bmatrix} B_m \\ C_m B_m \end{bmatrix}}^B \Delta u(k) \end{aligned} \quad (2.66)$$

$$y(k) = \overbrace{\begin{bmatrix} o_m & 1 \end{bmatrix}}^c \begin{bmatrix} \Delta x_m(k) \\ y(k) \end{bmatrix} \quad (2.67)$$

dimana $o_m = \overbrace{[0 \ 0 \ \dots \ 0]}^{n_1}$, sedangkan matriks A, B, dan C disebut dengan matriks augmented yang akan digunakan untuk desain dari predictive control.

2.3.2.2 Prediction of State and Output Variables

Setelah mendapatkan augmented model, langkah selanjutnya merupakan menghitung nilai output terprediksi dan variabel kontrol yang akan datang. Variabel kontrol yang akan datang dapat dinotasikan seperti pada Persamaan (2.68).

$$\Delta u(k_i), \Delta u(k_i + 1), \dots, \Delta u(k_i + N_c - 1) \quad (2.68)$$

k_i merupakan instan sampling sedangkan N_c merupakan nilai *control horizon*, yaitu jumlah langkah kontrol berkelanjutan yang diterapkan dan diprediksi oleh kontroler MPC dalam sebuah sampling time. Selain itu, variabel output terprediksi dapat diperkirakan dan diprediksi dalam jumlah sampel N_p , dimana N_p merupakan nilai *prediction horizon*. Adapun variabel output terprediksi dapat dituliskan dalam Persamaan (2.68).

$$x(k_i + 1|k_i), \dots, x(k_i + m|k_i), \dots, x(k_i + N_p|k_i) \quad (2.69)$$

Dimana $x(k_i + 1|k_i)$ merupakan variabel state yang terprediksi saat $k_i + m$ dengan diberikan informasi *plant* saat ini $x(k_i)$, nilai N_c harus lebih kecil atau sama dengan nilai N_p . Setelah itu, nilai output terprediksi dan variabel kontrol yang akan datang dapat dihitung dengan menggunakan Persamaan (2.70).

$$Y = Fx(k_i) + \Phi \Delta U \quad (2.70)$$

di mana matriks F , Φ , dan ΔU dapat diformulasikan sebagai berikut:

$$\Delta U = [u(k_i) \ \Delta u(k_i + 1) \ \dots \ \Delta u(k_i + N_c - 1)]^T \quad (2.71)$$

$$F = \begin{bmatrix} CA \\ CA^2 \\ CA^3 \\ \vdots \\ CA^{N_p} \end{bmatrix} \quad (2.72)$$

$$\Phi = \begin{bmatrix} CB & 0 & 0 & \dots & 0 \\ CAB & CB & 0 & \dots & 0 \\ CA^2B & CAB & CB & \dots & 0 \\ \vdots & & & & \\ CA^{N_p} & CA^{N_p} & CA^{N_p} & \dots & CA^{N_p} \end{bmatrix} \quad (2.73)$$

2.3.2.3 Indeks performansi kontroler MPC

Dalam sebuah kontroler MPC, diperlukan proses optimasi yang mempunyai objektif kontrol untuk meminimalkan error yang terbentuk dari selisih nilai referensi dengan nilai keluaran dari *plant*. Optimasi

tersebut dilakukan dengan mendeskripsikan sebuah nilai dan parameter indeks performansi J yang merefleksikan objektif kontrol dari kontroler MPC. Indeks performansi tersebut dapat didefinisikan sebagai berikut:

$$R_s^T = \overbrace{[1 \ 1 \ \dots \ 1]}^{N_p} r(k_i) \quad (2.74)$$

$$R_s = \overbrace{[1 \ 1 \ \dots \ 1]^T}^{N_p} r(k_i) = \bar{R}_s r(k_i) \quad (2.75)$$

$$J = (R_s - Y)^T (R_s - Y) + \Delta U^T \bar{R} \Delta U \quad (2.76)$$

R_s merupakan vektor yang berisi informasi sinyal referensi sinyal set point yang dinotasikan pada persamaan (2.75). Persamaan $(R_s - Y)^T (R_s - Y)$ pada persamaan (2.76) indeks performansi J mempunyai tujuan untuk meminimalkan error yang terjadi antara nilai output yang terprediksi dengan set point yang diberikan. Sedangkan persamaan $\Delta U^T \bar{R} \Delta U$ untuk merefleksikan seberapa besar nilai ΔU yang akan dihasilkan ketika fungsi objektif indeks performansi J dibuat sekecil mungkin. Matriks \bar{R} adalah matriks diagonal yang berbentuk $\bar{R} = r_w I_{N_p \times N_p}$ ($r_w \geq 0$) digunakan sebagai parameter tuning kontroler MPC. Variabel r_w merupakan tuning parameter untuk performa *closed loop* system pada kontroler MPC. Pada saat nilai $r_w = 0$, indeks performansi J akan mempunyai objektif untuk meminimalkan nilai error $(R_s - Y)^T (R_s - Y)$ sekecil mungkin tanpa memperdulikan seberapa besar nilai ΔU . Untuk kasus dimana nilai r_w dibuat semakin besar, indeks performansi J pada Persamaan (2.76) akan diterjemahkan ke dalam situasi dimana kita akan meminimalkan nilai error $(R_s - Y)^T (R_s - Y)$ secara hati-hati dengan mempertimbangkan seberapa besar nilai ΔU yang akan dihasilkan kontroler MPC. Indeks performansi dapat juga dinotasikan sebagai Persamaan (2.76).

$$J = (R_s - Fx(k_i))^T (R_s - Fx(k_i)) - 2\Delta U^T \Phi^T (R_s - Fx(k_i)) + \Delta U^T (\Phi^T \Phi + \bar{R}) \Delta U \quad (2.77)$$

Setelah itu, Persamaan (2.77) diturunkan terhadap ΔU sehingga persamaannya menjadi seperti Persamaan (2.78)

$$\frac{\partial J}{\partial \Delta U} = (R_s - Fx(k_i)) + 2(\Phi^T \Phi + \bar{R}) \Delta U \quad (2.78)$$

Kondisi yang dibutuhkan untuk meminimalkan indeks performansi dicari pada kondisi sebagai berikut :

$$\frac{\partial J}{\partial \Delta U} = 0 \quad (2.79)$$

Dengan mensubstitusi Persamaan (2.78) dengan Persamaan (2.79) maka dapat disimpulkan solusi optimal dari sinyal *control* pada kontroler MPC sebagai Persamaan (2.80)

$$\Delta U = (\Phi^T \Phi + \bar{R})^{-1} \Phi^T (R_s - Fx(k_i)) \quad (2.80)$$

2.3.2.4 Closed loop Control System

Nilai optimal parameter pada vektor ΔU mengandung sinyal *control* $\Delta u(k_i), \Delta u(k_i + 1), \dots, \Delta u(k_i + N_c - 1)$ tetapi hanya sampel pertama dari urutan atau sequence yang dapat diimplementasikan dan mengabaikan urutan selanjutnya. Prinsip tersebut disebut dengan *Receding Horizon Control* (RHC). Ketika periode sampling selanjutnya datang, nilai pengukuran yang paling baru diambil dari *state vector* $(k_i + 1)$ untuk perhitungan sinyal kontrol yang baru. Prosedur ini terus berlanjut pada kondisi *real time* untuk memenuhi prinsip RHC. Oleh karena itu, sinyal *control* yang didapatkan dari Persamaan (2.80) dapat ditulis ulang seperti pada Persamaan (2.81).

$$\Delta u = (\Phi^T \Phi + \bar{R})^{-1} (\Phi^T R_s r(k_i) - \Phi^T Fx(k_i))$$

Atau

$$\Delta u = K_y r(k_i) - K_{mpc} x(k_i) \quad (2.81)$$

Dimana K_y adalah baris pertama dari matriks $(\Phi^T \Phi + \bar{R})^{-1} \Phi^T R_s$ dan K_{mpc} adalah baris pertama dari matriks $(\Phi^T \Phi + \bar{R})^{-1} \Phi^T F$. Persamaan (2.81) adalah bentuk standar dari linear time-invariant state *feedback control*. Gain dari state *feedback control* adalah K_{mpc} . Untuk mencari persamaan system *closed loop* pada kontroler MPC, digunakan augmented model. Seperti pada Persamaan (2.82).

$$x(k+1) = Ax(k) + B\Delta u(k) \quad (2.82)$$

Sistem *closed loop* seperti pada Gambar 2.19 dapat dicari dengan mensubstitusi Persamaan (2.81) ke dalam Persamaan (2.82) dan mengganti indeks k_i ke dalam k sebagai mana Persamaan (2.83).

$$x(k+1) = Ax(k) - BK_{mpc}x(k) + BK_y r(k)$$

atau

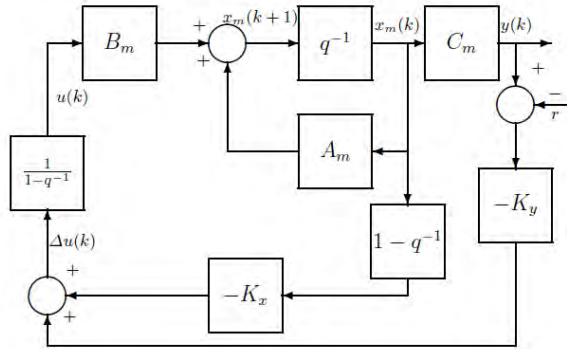
$$x(k+1) = (A - BK_{mpc})x(k) + BK_y r(k) \quad (2.83)$$

Nilai eigenvalues pada system closed-loop dapat diteukan dengan mengamati persamaan karakteristik closed-loop seperti pada Persamaan (2.84).

$$\det[\lambda I - (A - BK_{mpc})] = 0 \quad (2.84)$$

Dikarenakan struktur unik dari matriks A dan C, kolom terakhir dari matriks F identik dengan matriks $\overline{R_s}$, yaitu $[1 \ 1 \ \dots \ 1]^T$. Oleh karena itu, *gain* K_y identik dengan elemen terakhir pada *gain* K_{mpc} .

Perlu dicatat bahwa nilai vektor state variable $x(k) = [\Delta x_m(k)^T \ y(k)]^T$ dan dengan definisi K_y sehingga dapat mendeklarasikan bahwa *gain* $K_{mpc} = [K_x \ K_y]$, dimana K_x mendefinisikan hubungan *feedback gain* vector dengan $\Delta x_m(k)$. Sedangkan K_y mendefinisikan hubungan antara *gain* dengan $y(k)$. Oleh karena itu, blok diagram sistem *closed-loop* pada kontroler MPC seperti pada Gambar 2.16. Notasi q^{-1} merupakan notasi *backward shift operator* dan $\frac{1}{1-q^{-1}}$ menotasikan *discrete-time integrator*.



Gambar 2.16 Sistem *Closed loop* Kontroler MPC

BAB III

PERANCANGAN SISTEM

Perancangan-perancangan simulasi sistem dari *quadcopter* yang terdiri atas Desain *quadcopter*, identifikasi sistem dan perancangan kontroler yang meliputi desain mekanik *quadcopter*, desain elektronik *quadcopter*, parameter *quadcopter*, model matematika hasil identifikasi, perancangan kontroler PID maupun kontroler MPC.

3.1 Desain *Quadcopter*

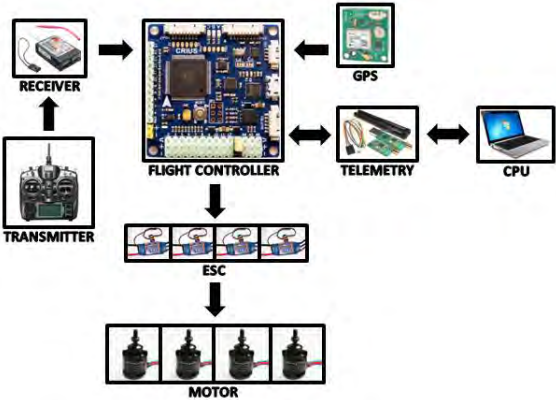
Quadcopter yang digunakan adalah *quadcopter* rakitan/hobby yang terdapat pada Laboratorium AJ 204 Teknik Elektro. Desain mekanik pada *quadcopter* hobby LAB AJ 204 seperti Gambar 3.1. Desain mekanik pada *quadcopter* dibuat simetris, seimbang dan ringan. Kesimetrisan *quadcopter* dapat ditunjukkan dengan nilai momen inersia pada sumbu translasi yang memiliki nilai yang sama.



Gambar 3.1 Desain Mekanik *Quadcopter* hobby LAB AJ 204

Sedangkan desain eletronikaknya seperti Gambar 3.2. Desain elektronika pada *quadcopter* rakitan ini terdiri dari sistem kontroler yang berupa Arduino pilot Mega 2.6 yang dilengkapi dengan ATmega 2560 sebagai mikrokontroler dari flight controller. Selain itu juga dilengkapi

dengan GPS yang digunakan untuk mengetahui posisi *quadcopter* dan *telemetry* 433 Mhz yang digunakan sebagai komunikasi data.



Gambar 3.2 Desain Sistem Elektronka *Quadcopter hobby* LAB AJ 204

3.2 Identifikasi Sistem

Dari desain mekanik maupun elektronik *quadcopter* dapat diperoleh parameter-parameter yang digunakan untuk melengkapi model matematika *quadcopter*. Dimulai dari menghitung massa keseluruhan dari *quadcopter* dengan alat pengukur massa. Momen inersia sumbu X, sumbu Y dan sumbu Z didapat dari identifikasi input-output sistem dengan cara menerbangkan *quadcopter* lalu didapatkan data keluaran dari sensor yaitu berupa kecepatan sudut, serta nilai persentase *throttle* dari *remote control*. Nilai konstanta *thrust* dan konstanta *drag*, dilakukan pengujian pada masing-masing motor dengan diberi suplai sinyal PWM, lalu diukur kecepatan dari keempat motor tersebut, dan dihitung konstanta *thrust* dan *drag* dari *quadcopter*. Parameter-parameter *quadcopter* diambil dari penelitian sebelumnya dapat dilihat pada Tabel 3.1[12].

Tabel 3.1 Parameter *Quadcopter*

No.	Parameter	Nilai	Satuan
1.	Massa <i>quadcopter</i>	1.26	Kg
2.	Jari-jari <i>quadcopter</i>	0,206	Meter
3.	Momen inersia sumbu X	$1,68 \times 10^{-3}$	Kg.m ²
4.	Momen inersia sumbu Y	$1,68 \times 10^{-3}$	Kg.m ²
5.	Momen inersia sumbu Z	$1,25 \times 10^{-3}$	Kg.m ²

No.	Parameter	Nilai	Satuan
6.	Konstanta drag	$4,19 \times 10^{-5}$	Nm.sec ²
7.	Konstanta Thrust	$1,68918 \times 10^{-6}$	N.sec ²
8.	Gaya Grafitasi	9.8	m/sec ²

Pada bab 2 telah diperoleh model matematik dari *quadcopter*, parameter-parameter *quadcopter* yang telah diketahui disubstitusikan ke dalam model matematika *quadcopter* sehingga model matematika bisa digunakan pada simulasi. Model matematika *quadcopter* dapat dituliskan kembali menjadi Persamaan (3.31).

$$\begin{cases} \ddot{X} = \frac{U_1}{1.26} (\cos\psi \sin\theta \cos\phi + \sin\psi \sin\phi) \\ \ddot{Y} = \frac{U_1}{1.26} (\sin\psi \sin\theta \cos\phi - \cos\psi \sin\phi) \\ \ddot{Z} = -9.81 + (\cos\theta \cos\phi) \frac{U_1}{1.26} \\ \dot{p} = -0.5495qr - 0.00017q\Omega + 0.2052U_2 \\ \dot{q} = 0,1675pr - 0,0094p\Omega + 2,955U_3 \\ \dot{r} = -2,0257pq + 0.0954U_4 \end{cases} \quad (3.31)$$

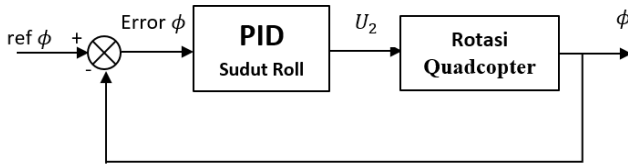
Dari identifikasi konstanta dilakukan pembatasan, di antaranya sudut *roll* dan *pitch* adalah maksimum 0,7 rad. Secara analisis sederhana diperoleh bahwa respon *output Z*, sudut *roll*, sudut *pitch*, dan sudut *yaw* terhadap *input U₁, U₂, U₃, dan U₄*.

3.3 Perancangan Kontroler PID

Kontroler PID digunakan untuk mengendalikan gerak rotasi pada *quadcopter* yang meliputi sudut *roll*, sudut *pitch* dan sudut *yaw*. Pengendalian sudut pada *quadcopter* dilakukan untuk menjaga arah dari *quadcopter* agar tetap. Perancangan kontroler PID untuk gerak rotasi diperlukan suatu linierisasi pada sistem *quadcopter* dikarenakan sistem pada *quadcopter* merupakan sistem nonlinier. Metode linierisasi yang akan digunakan adalah *feedback linierization*, dengan memodifikasi sinyal kontrol untuk menghilangkan efek nonlinier dari sistem. Model yang dipakai pada pengaturan sudut adalah Persamaan orde satu dengan *gain* overall 1 dan konstanta waktu 0,5 detik. Diharapkan sudut dapat merespon sangat cepat karena akan dijadikan variabel sinyal kontrol pada pengaturan gerak translasi atau paling tidak secara kaidah hukum pengaturan cascade bahwa loop dalam harus lebih cepat dari loop luar.

3.3.1 PID Roll

Perancangan kontroler PID untuk sudut *roll quadcopter* ditunjukkan pada diagram blok Gambar 3.3. Sudut *roll* merupakan sudut yang menyebabkan *quadcopter* bergerak pada sumbu Y. Pada diagram blok Gambar 3.3, masukan sistem berupa sudut *roll* referensi yang dihasilkan oleh sinyal kontrol gerak translasi sumbu Y. Pengendalian sudut *roll* dapat dilakukan dengan mengendalikan sinyal kontrol U_2 .



Gambar 3.3 Diagram Blok Perancangan Kontroler PID Sudut *Roll*

Perancangan kontroler PID dimulai dari linierisasi *feedback* untuk sudut *roll*, sebagai berikut :

$$\dot{\phi} = p \quad (3.2)$$

$$\ddot{\phi} = \dot{p} \quad (3.3)$$

$$\ddot{\phi} = -0,5495qr - 0,00017q\Omega + 0,2052U_2 \quad (3.4)$$

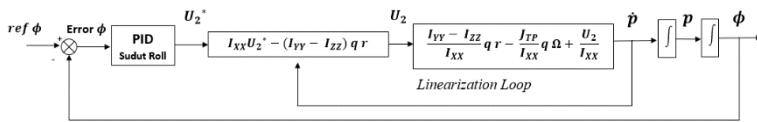
Persamaan (3.4) dimodifikasikan dan dibuat permisalan pada Persamaan (3.5) sehingga didapatkan Persamaan (3.6) dan persamaan sudut roll menjadi Persamaan (3.7).menjadi Persamaan (3.6) dan Persamaan (3.7)

$$\ddot{\phi} = U_2^* \quad (3.5)$$

$$U_2 = 2,677qr + 0.00082q\Omega + 4,873U_2^* \quad (3.6)$$

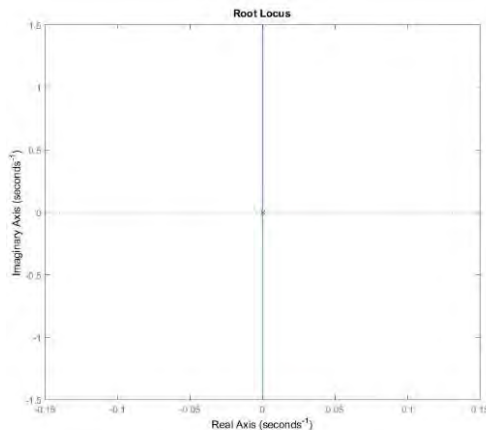
$$\phi = \frac{1}{s} p \quad (3.7)$$

Diagram blok *feedback* linearization untuk sudut *roll* dapat dilihat pada Gambar 3.4.



Gambar 3.4 Diagram Blok *Feedback Linearization* untuk Sudut *Roll*

Dari Persamaa (3.7) maka dapat disimpulkan model sistem merupakan sistem *double integrator*. Bila menggunakan kontroler PID, maka diperlukan metode tuning untuk mendapatkan parameter dari kontroler PID tersebut. Metode tuning yang paling terkenal adalah metode *Ziegler-Nichols*. Namun metode *Ziegler-Nichols* konvensional tidak dapat diterapkan karena respon *closed loop* dari sistem selalu berosilasi. Hal ini dapat dibuktikan dengan menggunakan analisa kestabilan root locus untuk *closed loop* kontroler proporsional dan *plant*. Dari analisis *root locus* pada Gambar 3.4 diperlihatkan bahwa untuk setiap K, sistem akan berada pada daerah *critically stable*. Bila didekatkan dengan prosedur *Ziegler-Nichols*, dapat ditarik kesimpulan, bahwa metode *Ziegler-Nichols* “konvensional” tidak dapat diterapkan untuk mencari nilai parameter kontroler PID.



Gambar 3.5 Grafik Root Locus Persamaan Sudut *Roll*

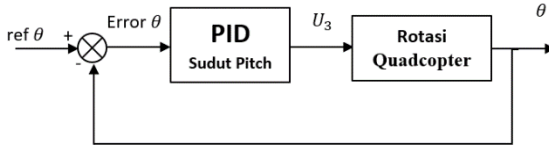
Sehingga pada tugas akhir kali ini menggunakan metode tuning manual, sebagai berikut :

1. Langkah awal adalah menambah *gain* kontroler proporsional hingga keadaan stabil namun respon masih ada isolasidan mengabaikan *gain* kontroler integral dan deferensial.
2. Untuk meredam osilasi pada respon, tambahkan *gain* kontroler deferensial sampai respon lebih stabil.
3. Selanjutnya tambahkan nilai *gain* kontroler integral untuk menambah kestabilan pada respon.

Sehingga parameter PID didapatkan Kp sebesar 800, Ki sebesar 0,01, dan Kd sebesar 2800.

3.3.2 PID Pitch

Perancangan kontroler PID untuk sudut *pitch quadcopter* dtunjukkan pada diagram blok Gambar 3.6. Sudut *pitch* merupakan sudut yang menyebabkan *quadcopter* bergerak pada sumbu X. Pada diagram blok Gambar 3.6, masukan sistem berupa sudut *pitch* referensi yang dihasilkan oleh sinyal kontrol gerak translasi sumbu X. Pengendalian sudut *pitch* dapat dilakukan dengan mengendalikan sinyal kontrol U_3 .



Gambar 3.6 Diagram Blok Perancangan Kontroler PID Sudut *Pitch*

Perancangan kontroler PID dimulai dari linierisasi *feedback* untuk sudut *pitch*, didapatkan persamaan sebagai berikut :

$$\dot{\theta} = q \quad (3.8)$$

$$\ddot{\theta} = \dot{q} \quad (3.9)$$

$$\ddot{\theta} = 0,1675p\Omega - 0,0094p\Omega + 2,955U_3 \quad (3.10)$$

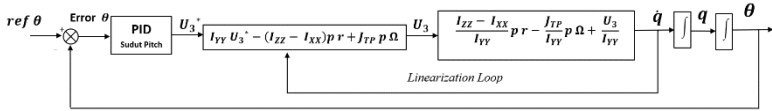
Persamaan (3.10) dimodifikasidan dibuat permisalan pada Persamaan (3.11) sehingga didapatkan Persamaan (3.12) dan persamaan sudut pitch menjadi Persamaan (3.13).

$$\ddot{\theta} = U_3^* \quad (3.11)$$

$$U_3 = -0,056pr + 0,0031p\Omega + 0,3384U_3^* \quad (3.12)$$

$$\theta = \frac{1}{s} q \quad (3.13)$$

Diagram blok *feedback* linearization untuk sudut *roll* dapat dilihat pada Gambar 3.7.

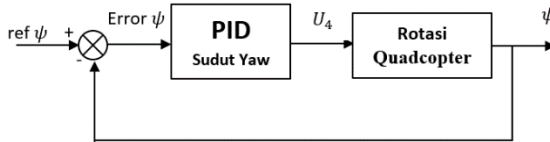


Gambar 3.7 Diagram Blok *Feedback* Linearization untuk Sudut *Pitch*

Dari Persamaa (3.12) dan Persamaan (3.13) maka dapat disimpulkan model sistem merupakan sistem *double integrator*. Sama seperti sudut *Roll*, parameter kontroler PID untuk sudut *Pitch* menggunakan metode tuning manual. Sehingga parameter PID didapatkan nilai Kp sebesar 400, Kd sebesar 2250, dan Ki sebesar 0,01.

3.3.3 PID Yaw

Perancangan kontroler PID untuk sudut *yaw quadcopter* dtunjukkan pada diagram blok Gambar 3.8. Sudut *pitch* merupakan sudut yang menyebabkan *quadcopter* bergerak memutar pada poros sumbu Z.



Gambar 3.8 Diagram Blok Perancangan Kontroler PID Sudut *Yaw*

Perancangan kontroler PID dimulai dari linierisasi *feedback* untuk sudut *yaw*, sebagai berikut :

$$\dot{\psi} = r \quad (3.14)$$

$$\ddot{\psi} = \dot{r} \quad (3.15)$$

$$\ddot{\psi} = -2,0257pq + 0,0954U_4 \quad (3.16)$$

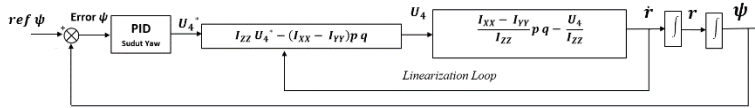
Persamaan (3.16) dimodifikasikan dan dibuat permisalan pada Persamaan (3.17) sehingga didapatkan Persamaan (3.18) dan persamaan sudut yaw dapat ditulis menjadi Persamaan (3.19).

$$\ddot{\psi} = U_4^* \quad (3.17)$$

$$U_4 = 21,23pq + 10,482 U_4^* \quad (3.18)$$

$$\psi = \frac{1}{s} r \quad (3.19)$$

Diagram blok *feedback linearization* untuk sudut yaw dapat dilihat pada Gambar 3.9.



Gambar 3.9 Diagram Blok *Feedback Linearization* untuk Sudut *Pitch*

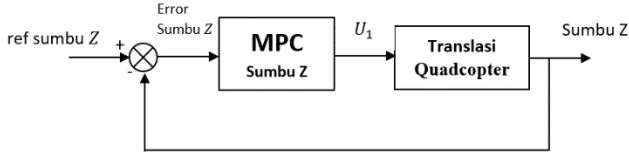
Dari Persamaa (3.18) dan Persamaan (3.19) maka dapat disimpulkan model sistem merupakan sistem *double integrator*. Dari Persamaa (3.19) maka dapat disimpulkan model sistem merupakan sistem *double integrator*. Sama seperti sudut *Roll* dan *Pitch*, parameter kontroler PID untuk sudut *Yaw* menggunakan metode tuning manual. Sehingga parameter PID didapatkan nilai Kp sebesar 300, Kd sebesar 1400, dan Ki sebesar 0,0001.

3.4 Perancangan Kontroler MPC

Perancangan kontroler MPC ini dimaksudkan untuk mengontrol gerak *quadcopter* pada sumbu X,Y dan Z. Tahapan desain kontroler ini meliputi diskritisasi sistem dari persamaan linier yang telah didapat, desain augmented model dari *state space* yang sudah didapatkan dari proses diskritisasi, perancangan *state estimator* pada sistem menggunakan *observer* dan penentuan parameter kontroler *Model Predictive Control* (MPC).

3.4.1 Kontroler MPC pada Sumbu Z

Perlu diketahui bahwa gerakan throttle pada sumbu Z tidak memerlukan gerakan rotasi seperti pada gerak untuk sumbu X maupun Y. Perancangan kontroler MPC pada sumbu Z dapat dilihat pada blok diagram Gambar 3.10.



Gambar 3.10 Diagram Blok Perancangan Kontroler MPC Sumbu Z

a. Discretization

Persamaan linier untuk sumbu Z sebagai berikut :

$$\ddot{Z} = -9.81 + (\cos\theta\cos\phi) \frac{U_1}{1.26} \quad (3.20)$$

Untuk merancang kontroler MPC, sistem yang akan dikontrol harus berbentuk model *state space*, sehingga Persamaan (3.20) akan dimodifikasi agar dapat dibuat model *state space*. Modifikasi persamaan linier sumbu Z dapat dilihat pada Persamaan (3.21).

$$U_z = -9.81 + (\cos\theta\cos\phi) \frac{U_1}{1.26} \quad (3.21)$$

Jika Persamaan (3.21) disubstitusi ke dalam Persamaan (3.20) maka menjadi Persamaan (3.22).

$$\ddot{Z} = U_z \quad (3.22)$$

Sehingga dari Persamaan (3.22) dapat dibuat model *state space* pada Persamaan (3.23).

$$\begin{bmatrix} \dot{Z} \\ \ddot{Z} \end{bmatrix} = \begin{bmatrix} 0 & 1 \\ 0 & 0 \end{bmatrix} \begin{bmatrix} Z \\ \dot{Z} \end{bmatrix} + \begin{bmatrix} 0 \\ 1 \end{bmatrix} U_z \quad (3.23)$$

Dari *state space* Persamaan (3.23) didapatkan matriks A dan B pada Persamaan (3.24).

$$A = \begin{bmatrix} 0 & 1 \\ 0 & 0 \end{bmatrix}, B = \begin{bmatrix} 0 \\ 1 \end{bmatrix} \quad (3.24)$$

Pemilihan matriks C tergantung pada state mana yang akan dihitung. Pada tugas akhir ini, posisi yang akan dihitung nilainya, sehingga dapat menggunakan output matriks $C = [1 \ 0]$. Selanjutnya adalah diskritisasi Persamaan (3.23) dengan menggunakan metode forward euler sebagai berikut :

$$\begin{bmatrix} Z(k+1) \\ V_z(k+1) \end{bmatrix} = \begin{bmatrix} 1 & \Delta T \\ 0 & 1 \end{bmatrix} \begin{bmatrix} Z(k) \\ V_z(k) \end{bmatrix} + \begin{bmatrix} 0 \\ \Delta T \end{bmatrix} U_z(k) \quad (3.25)$$

$$Y_z(k) = [1 \ 0] \begin{bmatrix} Z(k) \\ V_z(k) \end{bmatrix} \quad (3.26)$$

Dimana ΔT merupakan *sampling interval* dan dipilih nilai ΔT sebesar 0.1s. State $Z(k)$ dan $V_z(k)$ merepresentasikan posisi dan kecepatan.

b. Desain Augmented Model untuk Sumbu Z

Desain augmented model adalah dengan cara mengubah bentuk *state space* sumbu Z ke dalam bentuk augmented model dari model yang sudah didiskritisasi sebagai berikut :

$$\begin{bmatrix} Z(k+1) \\ V_z(k+1) \end{bmatrix} = \overbrace{\begin{bmatrix} 1 & 0.01 \\ 0 & 1 \end{bmatrix}}^{A_m} \begin{bmatrix} Z(k) \\ V_z(k) \end{bmatrix} + \overbrace{\begin{bmatrix} 0 \\ 0.01 \end{bmatrix}}^{B_m} U_z(k) \quad (3.27)$$

$$Y_z(k) = \overbrace{\begin{bmatrix} 1 & 0 \end{bmatrix}}^{C_m} \begin{bmatrix} Z(k) \\ V_z(k) \end{bmatrix} \quad (3.28)$$

Berdasarkan persamaan (2.65) , Persamaan (3.27) dan Persamaan (3.28) dapat diubah menjadi bentuk *augmented model* pada Persamaan (3.29). Matriks A,B, dan C yang berupa augmented model akan digunakan selanjutnya dalam merancang kontroler MPC.

$$\overbrace{\begin{bmatrix} \Delta Z_m(k+1) \\ Y_z(k+1) \end{bmatrix}}^{x(k+1)} = \overbrace{\begin{bmatrix} 1 & 0,01 & 0 \\ 0 & 1 & 0 \\ 1 & 0,01 & 1 \end{bmatrix}}^A \overbrace{\begin{bmatrix} \Delta Z_m \\ Y_z(k) \end{bmatrix}}^{Y_z(k)} + \overbrace{\begin{bmatrix} 0,0001 \\ 0,01 \\ 0,0001 \end{bmatrix}}^B \Delta U_z(k) \quad (3.29)$$

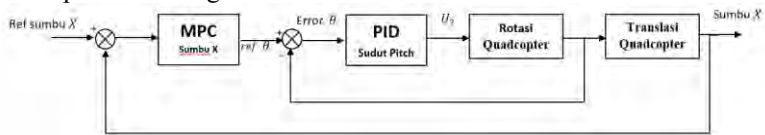
$$Y_z(k) = \overbrace{\begin{bmatrix} 1 & 0 & 0 \end{bmatrix}}^C \overbrace{\begin{bmatrix} \Delta Z_m \\ Y_z(k) \end{bmatrix}}^{Y_z(k)} \quad (3.31)$$

c. Penentuan *Gain* dan Prameter Kontroler MPC untuk Sumbu Z

Langkah selanjutnya adalah menentukan parameter kontroler MPC. Pada perancangan kontroler MPC untuk sumbu Z dipilih *parameter prediction horizon* sebesar 10 langkah, *control horizon* sebesar 3 dan *tuning parameter* indeks performansi sebesar 1. Selanjutnya adalah mencari nilai *gain* kontroler MPC (K_{mpc} dan K_y). Dimana *gain* K_y didapat dari baris pertama dari matriks $(\Phi^T \Phi + \bar{R})^{-1} \Phi^T R_s$ dan *gain* K_{mpc} didapat dari baris pertama dari matriks $(\Phi^T \Phi + \bar{R})^{-1} \Phi^T F$. Sehingga nilai *gain* $K_{y,z} = 0,83$ dan nilai *gain* $K_{mpc,z} = [6.90, 3.23, 0.878]$

3.4.2 Kontroler MPC pada Sumbu X

Gerakan translasi sumbu X dipengaruhi oleh gerakan rotasi sudut *pitch*, sistem yang digunakan menggunakan sistem cascade yang dapat dilihat pada blok diagram Gambar 3.11.



Gambar 3.11 Diagram Blok Perancangan Kontroler MPC Sumbu X

a. Discretization

Persamaan (3.35) memiliki tiga *variable* ϕ, θ, ψ dimana gerak pada sumbu X bergantung pada besarnya nilai sudut θ dan juga mendapat

pengaruh secara langsung oleh sudut ϕ . Dimisalkan bahwa *quadcopter* bersifat *rigid* untuk sudut ψ sehingga besarnya perubahan sudut *yaw* bernilai sangat kecil atau $\psi \approx 0$. Sehingga persamaan linier untuk sumbu X menjadi Persamaan (3.36). Persamaan linier untuk sumbu X sebagai berikut :

$$\ddot{X} = \frac{U_1}{1.26} (\cos\psi \sin\theta \cos\phi + \sin\psi \sin\phi) \quad (3.35)$$

$$\ddot{X} = \frac{U_1}{1.26} (\sin\theta \cos\phi) \quad (3.36)$$

Untuk merancang kontroler MPC, sistem yang akan dikontrol harus berbentuk model *state space*, sehingga Persamaan (3.36) akan dimodifikasi agar dapat dibuat model *state space*. Modifikasi persamaan linier sumbu X dapat dilihat pada Persamaan (3.37).

$$U_x = \frac{U_1}{1.26} (\sin\theta \cos\phi) \quad (3.37)$$

Jika Persamaan (3.37) disubstitusi ke dalam Persamaan (3.36) maka menjadi Persamaan (3.38).

$$\ddot{X} = U_x \quad (3.38)$$

Sehingga dari Persamaan (3.38) dapat dibuat model *state space* pada Persamaan (3.39).

$$\begin{bmatrix} \dot{X} \\ \ddot{X} \end{bmatrix} = \begin{bmatrix} 0 & 1 \\ 0 & 0 \end{bmatrix} \begin{bmatrix} X \\ \dot{X} \end{bmatrix} + \begin{bmatrix} 0 \\ 1 \end{bmatrix} U_x \quad (3.39)$$

Dari *state space* Persamaan (3.39) didapatkan matriks A dan B pada Persamaan (3.40).

$$A = \begin{bmatrix} 0 & 1 \\ 0 & 0 \end{bmatrix}, B = \begin{bmatrix} 0 \\ 1 \end{bmatrix} \quad (3.40)$$

Pemilihan matriks C tergantung pada state mana yang akan dihitung. Pada tugas akhir ini, posisi yang akan dihitung nilainya,

sehingga dapat menggunakan output matriks $C = [1 \ 0]$. Selanjutnya adalah diskritisasi Persamaan (3.39) dengan menggunakan metode forward euler seperti pada Persamaan (3.25) dan Persamaan (3.26). *Sampling interval* (ΔT) yang dipilih nilai ΔT sebesar 0.1s. State $X(k)$ dan $V_x(k)$ merepresentasikan posisi dan kecepatan.

b. Desain *Augmented Model* untuk Sumbu X

Desain augmented model adalah dengan cara mengubah bentuk *state space* sumbu X ke dalam bentuk augmented model dari model yang sudah didiskritisasi sebagai berikut :

$$\begin{bmatrix} X(k+1) \\ V_x(k+1) \end{bmatrix} = \overbrace{\begin{bmatrix} 1 & 0.01 \\ 0 & 1 \end{bmatrix}}^{A_m} \begin{bmatrix} X(k) \\ V_x(k) \end{bmatrix} + \overbrace{\begin{bmatrix} 0 \\ 0.01 \end{bmatrix}}^{B_m} U_x(k) \quad (3.41)$$

$$Y_x(k) = \overbrace{\begin{bmatrix} 1 & 0 \end{bmatrix}}^{C_m} \begin{bmatrix} X(k) \\ V_x(k) \end{bmatrix} \quad (3.42)$$

Berdasarkan persamaan (2.65) , Persamaan (3.41) dapat diubah menjadi bentuk *augmented model* pada Persamaan (3.43). Matriks A,B, dan C yang berupa augmented model akan digunakan selanjutnya dalam merancang kontroler MPC.

$$\begin{aligned} \overbrace{\begin{bmatrix} \Delta X_m(k+1) \\ Y_x(k+1) \end{bmatrix}}^{x(k+1)} &= \overbrace{\begin{bmatrix} 1 & 0.01 & 0 \\ 0 & 1 & 0 \\ 1 & 0.01 & 1 \end{bmatrix}}^A \begin{bmatrix} \Delta X_m \\ Y_x(k) \end{bmatrix} \\ &+ \overbrace{\begin{bmatrix} 0.0001 \\ 0.001 \\ 0.0001 \end{bmatrix}}^B \Delta U_x(k) \end{aligned} \quad (3.43)$$

$$Y_x(k) = \overbrace{\begin{bmatrix} 1 & 0 & 0 \end{bmatrix}}^C \begin{bmatrix} \Delta X_m \\ Y_x(k) \end{bmatrix} \quad (3.44)$$

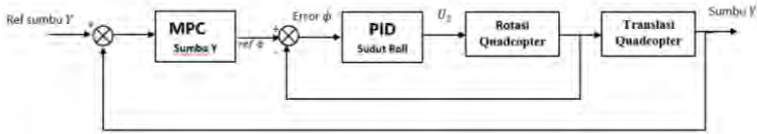
c. Penentuan *Gain* dan *Prameter Kontroler MPC* untuk Sumbu X

Langkah selanjutnya adalah menentukan parameter kontroler MPC. Pada perancangan kontroler MPC untuk sumbu X dipilih parameter *prediction horizon* sebesar 20 langkah, *control horizon* sebesar 2 dan *tuning parameter indeks performansi* sebesar 1. Selanjutnya adalah

mencari nilai *Gain* kontroler MPC (K_{mpc} dan K_y). Dimana *gain* K_y didapat dari baris pertama dari matriks $(\Phi^T \Phi + \bar{R})^{-1} \Phi^T R_s$ dan *gain* K_{mpc} didapat dari baris pertama dari matriks $(\Phi^T \Phi + \bar{R})^{-1} \Phi^T F$. Sehingga nilai *gain* $K_{y-x} = 0,14$, dan nilai *gain* $K_{mpc-x} = [2.197, 0.191, 0.143]$.

3.4.3 Kontroler MPC pada Sumbu Y

Gerakan translasi sumbu Y dipengaruhi oleh gerakan rotasi sudut *roll*, sistem yang digunakan menggunakan sistem cascade yang dapat dilihat pada blok diagram Gambar 3.12.



Gambar 3.12 Diagram Blok Perancangan Kontroler MPC Sumbu Y

a. Discretization

Persamaan linier untuk sumbu Y sebagai berikut :

$$\ddot{Y} = \frac{U_1}{1.26} (\sin\psi \sin\theta \cos\phi - \cos\psi \sin\phi) \quad (3.45)$$

Persamaan tersebut memiliki tiga variabel ϕ, θ, ψ dimana gerak pada sumbu Y bergantung pada besarnya nilai sudut ϕ dan juga mendapat pengaruh secara langsung oleh sudut θ . Dimisalkan bahwa *quadcopter* bersifat *rigid* untuk sudut ψ sehingga besarnya perubahan sudut *yaw* bernilai sangat kecil atau $\psi \approx 0$. Sehingga persamaan linier untuk sumbu Y menjadi Persamaan (3.46).

$$\ddot{Y} = -(\sin\phi) \frac{U_1}{1.26} \quad (3.46)$$

Untuk merancang kontroler MPC, sistem yang akan dikontrol harus berbentuk model *state space*, sehingga Persamaan (3.46) akan dimodifikasi agar dapat dibuat model *state space*. Modifikasi persamaan linier sumbu Y dapat dilihat pada Persamaan (3.47).

$$U_y = -(\sin \phi) \frac{u_1}{1.26} \quad (3.47)$$

Jika Persamaan (3.47) disubstitusi ke dalam Persamaan (3.46) maka menjadi Persamaan (3.48).

$$\dot{Y} = U_y \quad (3.48)$$

Sehingga dari Persamaan (3.48) dapat dibuat model *state space* pada Persamaan (3.49).

$$\begin{bmatrix} \dot{Y} \\ \ddot{Y} \end{bmatrix} = \begin{bmatrix} 0 & 1 \\ 0 & 0 \end{bmatrix} \begin{bmatrix} Y \\ \dot{Y} \end{bmatrix} + \begin{bmatrix} 0 \\ 1 \end{bmatrix} U_y \quad (3.49)$$

Dari *state space* Persamaan (3.49) didapatkan matriks A dan B pada Persamaan (3.50).

$$A = \begin{bmatrix} 0 & 1 \\ 0 & 0 \end{bmatrix}, B = \begin{bmatrix} 0 \\ 1 \end{bmatrix} \quad (3.50)$$

Pemilihan matriks *C* tergantung pada state mana yang akan dihitung. Pada tugas akhir ini, posisi yang akan dihitung nilainya, sehingga dapat menggunakan output matriks $C = [1 \ 0]$. Selanjutnya adalah diskritisasi Persamaan (3.49) dengan menggunakan metode forward euler seperti pada Persamaan (3.25) dan Persamaan (3.26). *Sampling interval* (ΔT) yang dipilih nilai ΔT sebesar 0.01s. State $Y(k)$ dan $V_y(k)$ merepresentasikan posisi dan kecepatan.

b. Desain Augmented Model untuk Sumbu Y

Desain augmented model adalah dengan cara mengubah bentuk *state space* sumbu Y ke dalam bentuk augmented model dari model yang sudah didiskritisasi sebagai berikut :

$$\begin{bmatrix} Y(k+1) \\ V_y(k+1) \end{bmatrix} = \overbrace{\begin{bmatrix} 1 & 0.01 \\ 0 & 1 \end{bmatrix}}^{A_m} \begin{bmatrix} Y(k) \\ V_y(k) \end{bmatrix} + \overbrace{\begin{bmatrix} 0 \\ 0.01 \end{bmatrix}}^{B_m} U_y(k) \quad (3.51)$$

$$Y_y(k) = \overbrace{[1 \ 0]}^{c_m} \begin{bmatrix} Y(k) \\ V_y(k) \end{bmatrix} \quad (3.52)$$

Berdasarkan persamaan (2.65) , Persamaan (3.51) dapat diubah menjadi bentuk *augmented model* pada Persamaan (3.53). Matriks A,B, dan C yang berupa augmented model akan digunakan selanjutnya dalam merancang kontroler MPC.

$$\begin{aligned} \overbrace{\begin{bmatrix} x(k+1) \\ \Delta Y_m(k+1) \\ Y_y(k+1) \end{bmatrix}}^{x(k+1)} &= \overbrace{\begin{bmatrix} 1 & 0,01 & 0 \\ 0 & 1 & 0 \\ 1 & 0,01 & 1 \end{bmatrix}}^A \begin{bmatrix} \Delta Y_m \\ Y_y(k) \end{bmatrix} \\ &+ \overbrace{\begin{bmatrix} 0,0001 \\ 0,001 \\ 0,0001 \end{bmatrix}}^B \Delta U_y(k) \end{aligned} \quad (3.53)$$

$$Y_y(k) = \overbrace{[1 \ 0 \ 0]}^c \begin{bmatrix} \Delta Y_m \\ Y_y(k) \end{bmatrix} \quad (3.54)$$

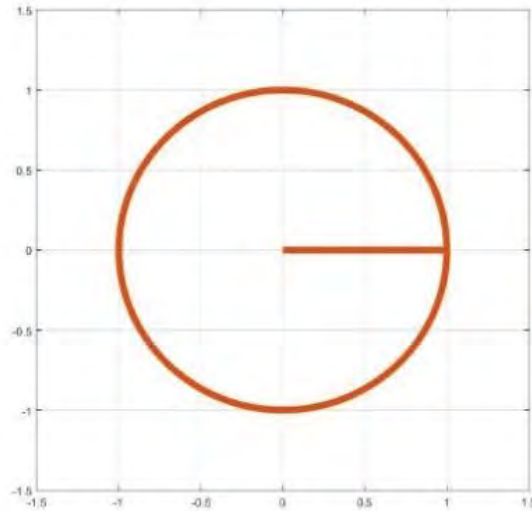
c. Penentuan *Gain* dan Prameter Kontroler MPC untuk Sumbu Y

Langkah selanjutnya adalah menentukan parameter kontroler MPC. Pada perancangan kontroler MPC untuk sumbu Y dipilih parameter prediction *horizon* sebesar 14 langkah, *control horizon* sebesar 2 dan tuning parameter indeks performansi sebesar 1. Selanjutnya adalah mencari nilai *Gain* kontroler MPC (K_{mpc} dan K_y). Didapatkan nilai *gain* $K_{y,y} = 0,6444$, dan nilai *gain* $K_{mpc,y} = [0.55, 0.034, 0.05]$.

3.5 Perancangan *Trajectory Tracking*

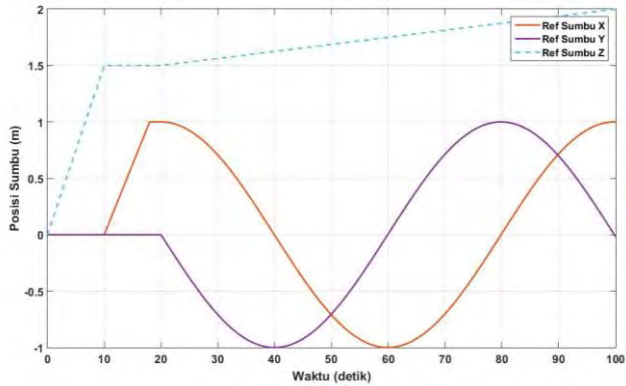
Referensi jalur yang akan disimulasikan untuk *Trajectory Tracking quadcopter* berbentuk lingkaran ditunjukkan pada Gambar 3.13 dan berbentuk segiempat ditunjukkan pada Gambar 3.15. Lintasan lingkaran dipilih untuk menguji kemampuan *quadcopter* dalam menjejak lintasan dengan referensi yang terus berubah. Perubahan referensi membuat kecepatan *quadcopter* berubah pula. Lintasan tersebut juga membuat *quadcopter* melakukan gerakan manuver membentuk lingkaran.

Sehingga, dapat diketahui respon *quadcopter* saat melakukan manuver gerakan *cruise*. Lintasan lingkaran dengan jari-jari 1 m, kecepatan sudut 0,1 rad/s, dan waktu keseluruhan simulasi adalah 100 detik. Untuk referensi sumbu Z dibuat tetap sebesar 1.5 m sampai detik ke 20, lalu bergerak naik sampai nilai 2 m, sedangkan referensi sumbu X dan Y berubah-ubah berbentuk sinyal sinusoidal yang ditunjukkan pada Gambar 3.11.



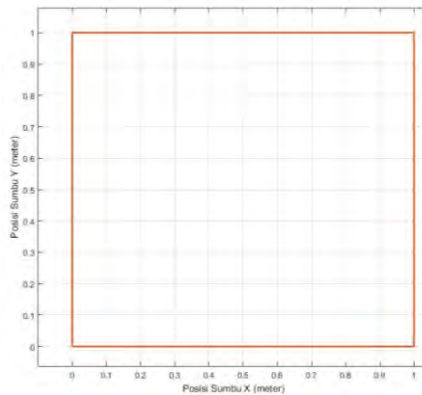
Gambar 3.13 Referensi *Trajectory Tracking* Lingkaran *Quadcopter* Sumbu X dan Y

Quadcopter melakukan take off vertical sampai ketinggian 2 meter setelah itu *quadcopter* bergerak ke koordinat (1,0,2) ke arah sumbu x selama 8 detik. *quadcopter* melakukan hover pada koordinat (1,0,2) selama 2 detik kemudian *quadcopter* mulai menjejak lintasan yang sudah disianpak.

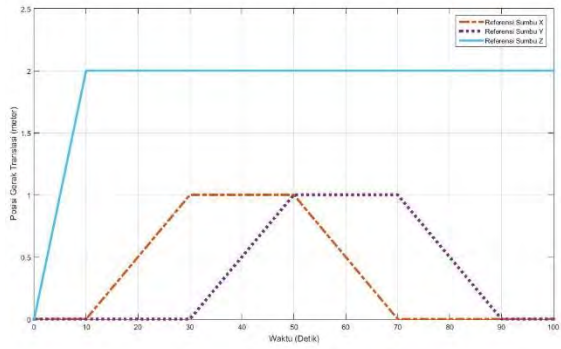


Gambar 3.14 Grafik Referensi Sumbu X, Y dan Z Terhadap Waktu

Sedangkan untuk lintasan segiempat dengan panjang 1 meter dan lebar 1 meter. Referensi sumbu Z dibuat tetap sebesar 2 m sedangkan referensi sumbu X dan Y berubah-ubah membentuk sinyal ramp ditunjukkan pada Gambar 3.16 . Waktu simulasi untuk lintasan segiempat adalah 100 detik. referensi segiempat dipilih untuk mengetahui respon *quadcopter* saat menjejak lintasan bila referensi cenderung tetap.



Gambar 3.15 Referensi *Trajectory Tracking* Segiempat *Quadcopter* Sumbu X dan Y



Gambar 3.16 Referensi Sumbu X, Y dan Z Lintasan Segiempat

[Halaman ini sengaja dikosongkan]

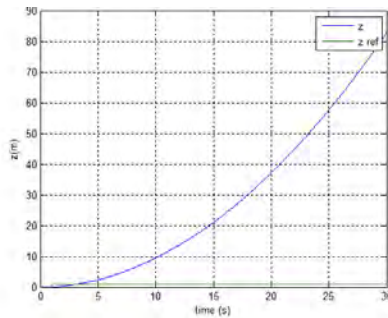
BAB IV

ANALISIS DATA DAN PEMBAHASAN

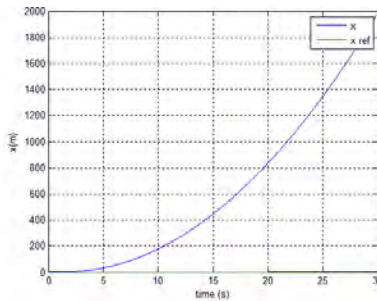
Bab ini berisi tentang hasil simulasi dan implementasi serta *analisis* dari perancangan yang sudah dilakukan pada Bab III. Pengujian akan dilakukan dengan dua kontroler untuk *inner loop* dan *outer loop* sistem. Pengujian kontroler juga dengan memberikan gangguan pada sistem.

4.1 Simulasi *Open Loop* Sistem

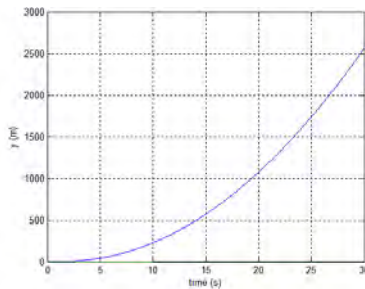
Simulasi *open loop* sistem dilakukan untuk mengetahui karakteristik dari *quadcopter* sebelum diberikan kontroler. Pengujian dilakukan dengan memberikan nilai akhir sinyal step 1 pada sumbu X, Y dan Z. Hasil respon sumbu X dapat dilihat pada Gambar 4.2, hasil respon untuk sumbu Y pada Gambar 4.3, sedangkan hasil respon sumbu Z pada Gambar 4.1.



Gambar 4.1 Respon *Open Loop* Posisi Z tanpa Kontroler



Gambar 4.2 Respon *Open Loop* Posisi X tanpa Kontroler



Gambar 4.3 Respon *Open Loop* Posisi Y tanpa Kontroler

4.2 Simulasi Pengujian dengan Kontroler PID

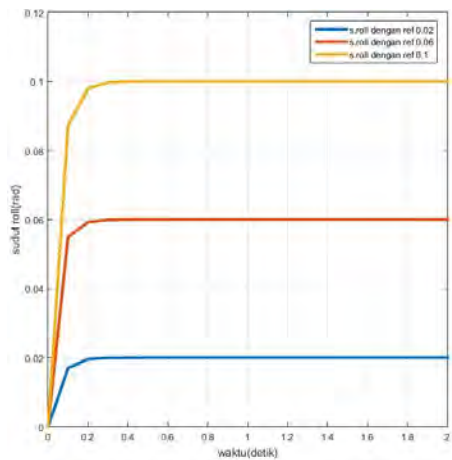
Simulasi pengujian dengan kontroler PID pada gerak rotasi terdiri dari 2 cara yaitu pengujian dengan variasi set point/nilai referensi dan pengujian dengan variasi *initial condition*/nilai awal. Pada simulasi tugas akhir ini hanya menggunakan gerak rotasi sudut *roll* dan sudut *pitch* dikarenakan sudut *yaw* yang dianggap rigid dan nilai perubahan sudut dibatasi bernilai maksimal 0,1 dikarenakan sudut rotasi *quadcopter* harus bernilai 0 untuk menjaga kestabilan *quadcopter*. Pengujian dengan variasi set point dilakukan untuk mengetahui apakah respon kontroler PID pada gerak rotasi sudut *roll* maupun sudut *pitch* dapat mengikuti referensi yang diberikan. Sedangkan pengujian variasi nilai awal dilakukan untuk mengetahui apakah respon kontroler PID pada gerak rotasi dapat meregulasi ke titik awal, sehingga apabila *quadcopter* diberi gangguan, maka akan tetap kembali ke jalur yang ditentukan.

4.2.1 Simulasi Pengujian dengan Kontroler PID Sudut *Roll*

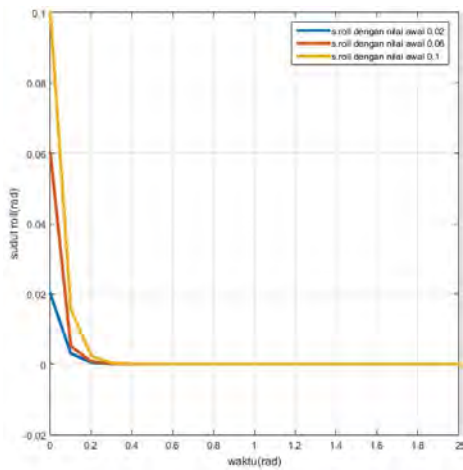
Pada simulasi pengujian dengan kontroler PID sudut *roll* diberikan variasi set point sebesar 0,02 radian, 0,06 radian dan 0,1 radian dengan nilai awal 0 radian terlebih dahulu, set point yang diberikan berupa sinyal step. Hasil pengujian set point untuk sudut *roll* dapat dilihat pada Gambar 4.4. Didapatkan bahwa respon dengan set point sebesar 0,02 radian, 0,06 radian dan 0,1 radian mengikuti referensi yang diberikan.

Selanjutnya pengujian sudut *roll* dengan variasi nilai awal. Pada pengujian ini diberikan nilai awal sebesar 0,02 radian, 0,06 radian dan 0,1 radian dengan nilai set point 0 radian. Hasil respon dapat dilihat

pada Gambar 4.5, didapatkan bahwa pada semua nilai awal, respon tetap meregulasi ke titik awal/ 0 radian.



Gambar 4.4 Respon Simulasi Sudut *Roll* dengan Variasi Nilai Referensi



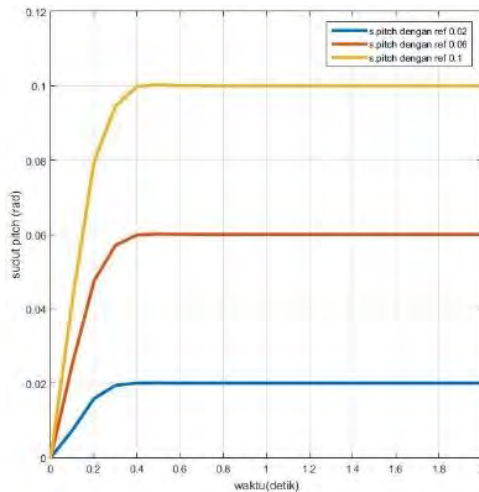
Gambar 4.5 Respon Simulasi Sudut *Roll* dengan Variasi Nilai Awal

4.2.2 Simulasi Pengujian dengan Kontroler PID Sudut *Pitch*

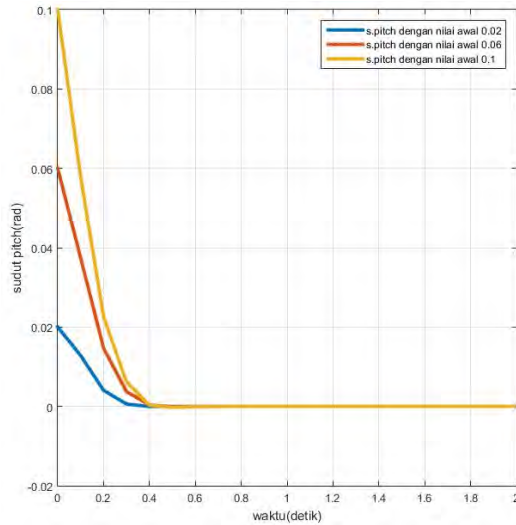
Pada simulasi pengujian dengan kontroler PID sudut *pitch* sama dengan simulasi pengujian sudut *roll* yang diberikan variasi set point maupun dengan variasi nilai awal.

Pengujian pertama adalah pengujian dengan variasi set point sebesar 0,02 radian, 0,06 radian dan 0,1 radian dengan nilai awal 0 radian dan set point berupa sinyal step. Hasil pengujian dapat dilihat pada Gambar 4.6, didapatkan bahwa pada semua nilai set point, respon tetap mengikuti referensi yang diberikan.

Selanjutnya pengujian sudut *pitch* dengan variasi nilai awal. Pada pengujian ini diberikan nilai awal sebesar 0,02 radian, 0,06 radian dan 0,1 radian dengan nilai set point 0 radian. Hasil respon dapat dilihat pada Gambar 4.7, didapatkan bahwa pada semua nilai awal, respon tetap meregulasi ke titik awal/ 0 radian.



Gambar 4.6 Respon Simulasi Sudut *Pitch* dengan Variasi Nilai Awal



Gambar 4.7 Respon Simulasi Sudut *Pitch* dengan Variasi Nilai Referensi

4.3 Simulasi Pengujian Kontroler MPC

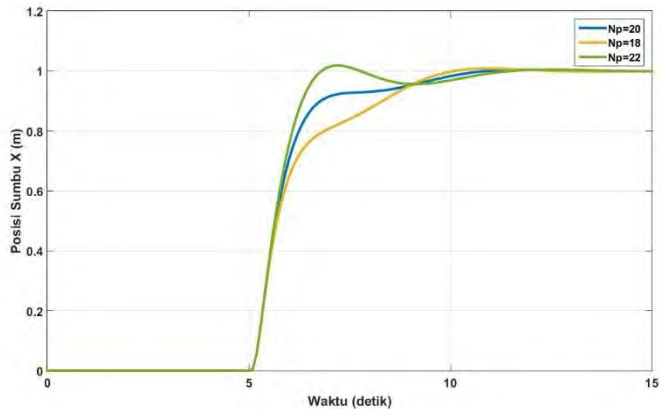
Pada penelitian ini digunakan metode Kontroler MPC untuk mengontrol gerak Translasi sumbu X, Y, dan Z.

4.3.1 Simulasi Pengujian Kontroler MPC pada Sumbu X

Simulasi pengujian kontroler MPC pada sumbu X dengan variasi nilai N_p yang akan menghasilkan sinyal keluaran yang diprediksi akan berbeda karena banyaknya kondisi *state*. Variasi nilai N_p ditunjukkan pada Tabel 4.1, dengan nilai N_c yang tetap. Pada Gambar 4.8 menunjukkan respon hasil dari simulasi dengan variasi N_p dengan reference sinyal step.

Tabel 4.1 Variasi Nilai N_p pada Kontroler MPC sumbu X

No.	N_p	N_c	K_{mpc}	K_y
1.	18	2	[1,459, 0,115, 0,105]	0,105
2.	20	2	[2,197, 0,191, 0,143]	0,143
3.	22	2	[3,184, 0,302, 0,188]	0,188



Gambar 4.8 Respon Simulasi Sumbu X dengan Variasi Nilai N_p

Dari hasil didapatkan bahwa semakin besar nilai dari N_p yang digunakan maka respon dari sistem akan naik terus menuju steady state. Sedangkan semakin kecil nilai N_p , respon semakin lambat menuju kondisi steady state. Variasi nilai N_p ini juga berpengaruh pada nilai time konstan, semakin kecil nilai N_p maka time konstan semakin besar.

Nilai N_p yang dipilih adalah 18, dikarenakan respon tidak mengalami osilasi dan menuju steady state cukup cepat. Nilai time konstan, rise time, settling time dan over shoot dapat dilihat pada Tabel 4.2.

Tabel 4.2 Parameter Hasil Tuning Variasi Nilai N_p Kontroler MPC sumbu X

No.	N_p	Time Settling ($\pm 2\%$) (detik)	Rise Time (10%-90%) (detik)	Overshoot Maximum
1.	18	4,8	3	0,0008
2.	20	4,6	1,5	0,00041
3.	22	3,1	1	0,018

4.3.2 Simulasi Pengujian Kontroler MPC pada Sumbu Y

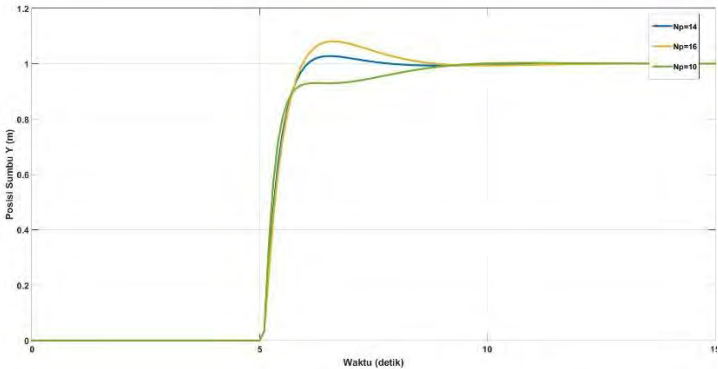
Pengujian dengan variasi nilai N_p juga dilakukan untuk simulasi pengujian kontroler MPC pada sumbu Y dengan reference berupa sinyal

step dengan step time 5 detik. Variasi nilai N_p ditunjukkan pada Tabel 4.3, dengan nilai N_c yang tetap.

Tabel 4.3 Variasi Nilai N_p pada Kontroler MPC sumbu Y

No.	N_p	N_c	K_{mpc}	K_y
1.	10	2	[0,151 , 0,007, 0,019]	0,019
2.	14	2	[0,55, 0,034, 0,05]	0,05
3.	16	2	[0,923, 0,065, 0,074]	0,074

Dari hasil didapatkan pada Gambar 4.9 bahwa pada saat N_p bernilai 16, respon mengalami overshoot sekitar 0,1. Sedangkan pada N_p bernilai 10 , respon tidak lambat untuk mencapai steady state. Sehingga dipilihlah nilai N_p sebesar 14, walaupun masih terdapat overshoot sebesar kurang dari 0,05. Nilai rise time, settling time dan over shoot dapat dilihat pada tabel 4.4.



Gambar 4.9 Respon Simulasi Sumbu Y dengan Variasi Nilai N_p

Tabel 4.4 Parameter Hasil Tuning Variasi Nilai N_p Kontroler MPC sumbu Y

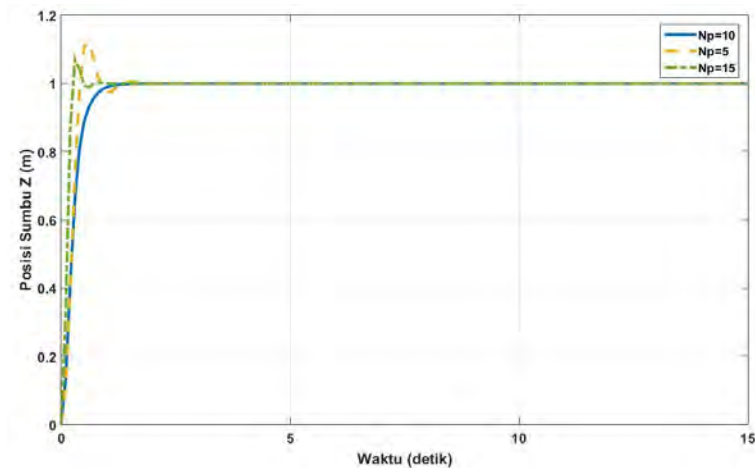
No.	N_p	Time Settling ($\pm 2\%$) (detik)	Rise Time (10%-90%) (detik)	Overshoot
1.	10	1,4	0,65	0,003
2.	14	1,8	0,68	0,08
3.	16	1,3	0,62	0,02

4.3.3 Simulasi Pengujian Kontroler MPC pada Sumbu Z

Simulasi pengujian kontroler MPC pada sumbu Z sama dengan pengujian kontroler MPC pada sumbu X maupun Y dengan menggunakan variasi nilai N_p , dapat dilihat pada Tabel 4.5. Dari Gambar 4.10 didapatkan bahwa semakin kecil nilai N_p maupun semakin besar, respon mengalami overshoot seperti pada saat N_p sebesar 5 langkah dan N_p sebesar 15 langkah. Pada N_p sebesar 10, respon menuju pada reference tanpa mempunyai overshoot.

Tabel 4.5 Variasi Nilai N_p pada Kontroler MPC sumbu Z

No.	N_p	N_c	K_{mpc}	K_y
1.	5	5	[0,833 , 0,22 , 0,196]	0,196
2.	10	5	[6,90 , 3,23 , 0,878]	0,878
3.	15	5	[7,734 , 4,882 , 0,734]	0,734



Gambar 4.10 Respon Simulasi Sumbu Z dengan Variasi Nilai N_p

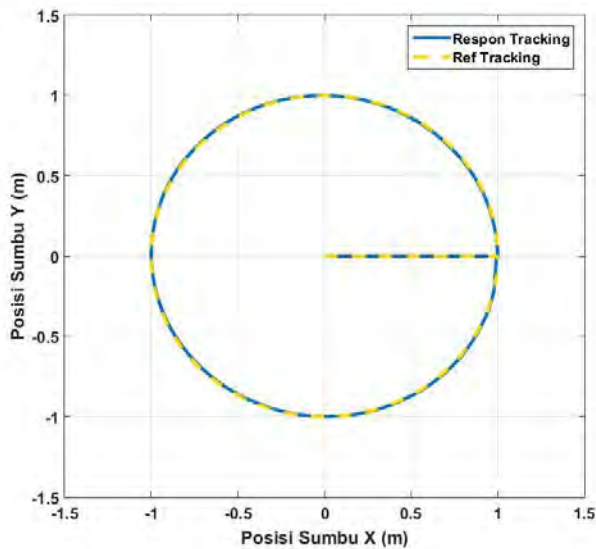
Variasi nilai N_p ini juga berpengaruh pada nilai time konstan, rise time dan overshoot. Nilai N_p untuk sumbu Z yang dipilih adalah 10, dikarenakan respon tidak mengalami overshoot dan waktu menuju steady state yang cukup cepat. Nilai-nilai hasil tuning variasi N_p bisa dilihat pada Tabel 4.6

Tabel 4.6 Parameter Hasil Tuning Variasi Nilai N_p Kontroler MPC sumbu Z

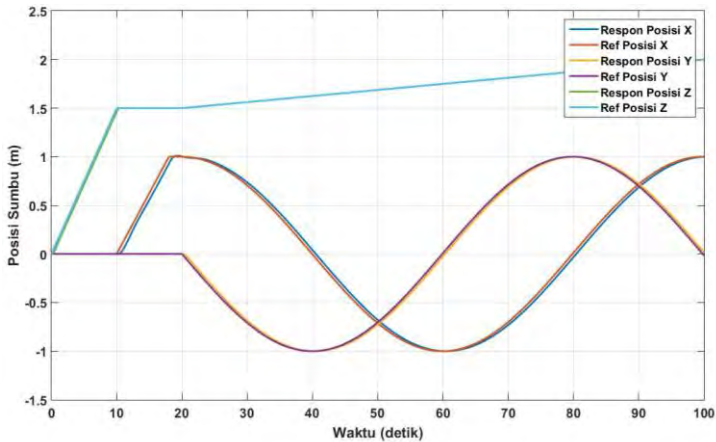
No.	N_p	Time Settling ($\pm 2\%$) (detik)	Rise Time (10%-90%) (detik)	Overshoot
1.	5	1,1	0,27	0,12
2.	10	1,12	0,5	-
3.	15	0,6	0,18	0,07

4.4 Simulasi Pengujian *Trajectory Tracking Quadcopter* pada Lintasan Lingkaran dan Segiempat.

Referensi jalur yang akan disimulasikan untuk *trajectory tracking quadcopter* berbentuk lingkaran, dengan jari-jari 1 m, kecepatan sudut 0,1 rad/s, respon terlihat pada Gambar 4.11. Sedangkan untuk grafik respon posisi quadcopter terhadap waktu dapat dilihat pada Gambar 4.12.



Gambar 4.11 Respon Simulasi *Quadcopter Trajectory tracking* dengan Lintasan Lingkaran

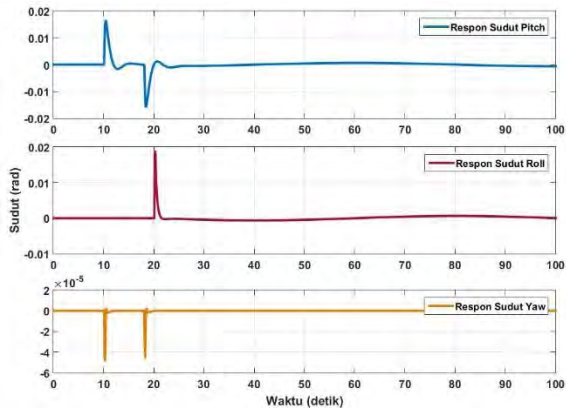


Gambar 4.12 Respon Pengujian *Trajectory tracking Quadcopter* pada Lintasan Lingkaran pada Posisi Sumbu X, Y dan Z

Waktu simulasi yang digunakan selama 200 detik. Pada detik ke 0 sampai ke 10 *quadcopter* melakukan take off pada koordinat (0,0,0) hingga pada koordinat (0,0,1.5). Selanjutnya pada detik ke 10 sampai detik ke 18, *quadcopter* bergerak ke samping pada koordinat (1,0,2). *Quadcopter* dalam keadaan hover selama 2 detik pada detik ke 18 sampai detik ke 20. Setelah itu, pada detik ke 20, *quadcopter* mulai menjejak lintasan lingkaran sampai detik ke 100, dengan referensi sumbu z terus naik sampai ketinggian 2 meter.

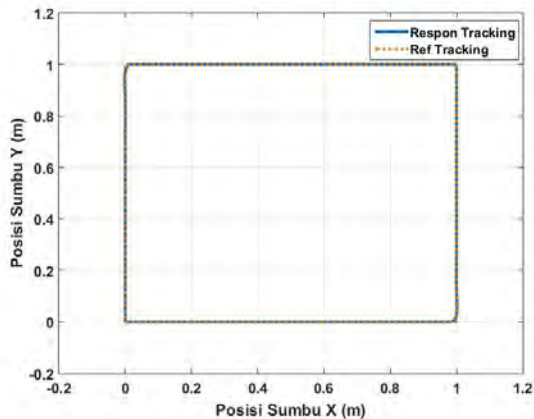
Pada Gambar 4.11 dapat dilihat bahwa *quadcopter* mampu mengikuti lintasan lingkaran yang diberikan namun *quadcopter* masih mempunyai undershoot sekitar 0,025. Pada koordinat (0.955,-0.155,2), *quadcopter* mampu kembali ke lintasan.

Respon pada gerak rotasi dapat dilihat pada Gambar 4.13. Respon yang diharapkan untuk gerak rotasi adalah nilai sudut *pitch*, *roll* dan *yaw* tetap stabil bernilai 0. Dapat dilihat pada respon sudut *pitch*, sudut *roll* maupun sudut *yaw* masih terdapat osilasi namun sangat kecil sehingga masih dianggap mendekati 0 dan tidak berpengaruh pada gerak Translasi.



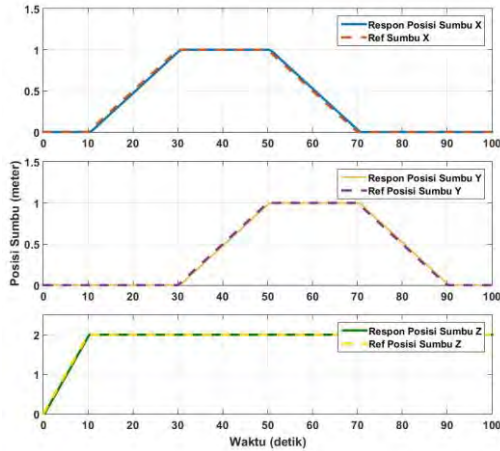
Gambar 4.13 Respon Sudut Pengujian *Trajectory tracking Quadcopter* pada Lintasan Lingkaran

Selanjutnya simulasi pengujian *trajectory tracking* menggunakan lintasan segiempat, terlihat pada Gambar 4.14. Waktu simulasinya sebesar 100 detik. pada koordinat (0,0,0), *quadcopter* melakukan take-off vertical selama 10 detik sampai ketinggian 1 meter, selanjutnya *quadcopter* menjejak lintasan segiempat selama 80 detik. setelah itu *quadcopter* melakukan hover pada koordinat awal selama 10 detik.



Gambar 4.14 Respon Simulasi *Quadcopter Trajectory tracking* dengan Lintasan Segiempat

Dapat dilihat pada Gambar 4.14, *quadcopter* masih belum menjejak referensi pada setiap sudut segiempat dikarenakan perubahan posisi yang sangat cepat. Grafik respon posisi *quadcopter* saat melakukan tracking segiempat dapat dilihat pada Gambar 4.15.

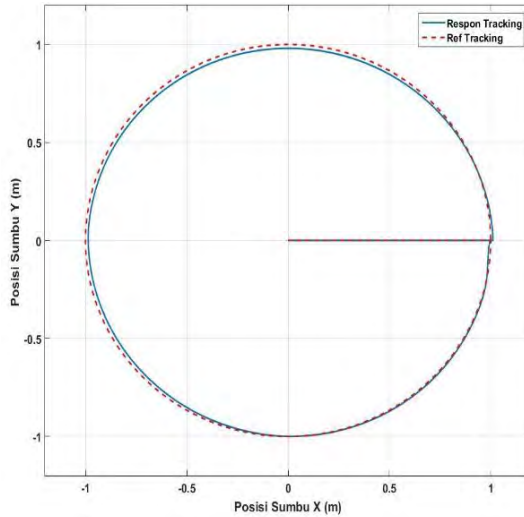


Gambar 4.15 Respon Pengujian *Trajectory tracking Quadcopter* pada Lintasan Segiempat pada Posisi Sumbu X, Y dan Z

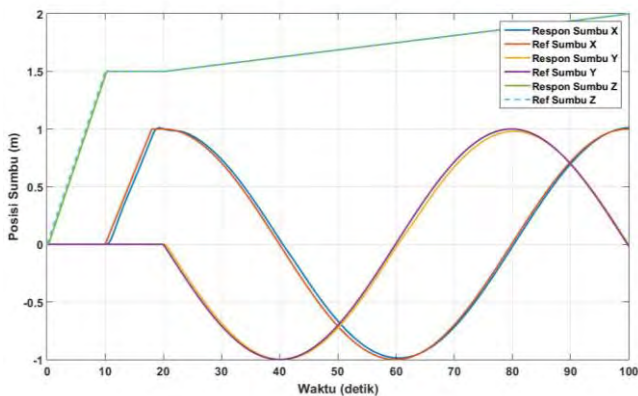
4.5 Simulasi Pengujian *Trajectory tracking Quadcopter* pada Lintasan Lingkaran dan Segiempat Dengan *Disturbance*

Pada simulasi pengujian *trajectory tracking quadcopter* pada lintasan lingkaran dan segiempat dengan *disturbance* menggunakan sinyal step yang ditempatkan pada sinyal kontrol U2, U3 dan U4. *Disturbance* ini diasumsikan sebagai gangguan seperti angin yang dapat membuat *quadcopter* terdorong keluar lintasan. Gangguan pada sinyal kontrol U2,U3 dan U4 mempengaruhi posisi sudut dari *quadcopter*. Gangguan pada sinyal kontrol U2 dan U3 juga dapat mempengaruhi posisi *quadcopter* sumbu X dan Y. Diberikan gangguan sinyal kontrol U2 sebesar 5 pada nilai final value sinyal step pada detik ke 60, gangguan sinyal kontrol U3 sebesar 0.1 pada detik ke 40 dan gangguan sinyal kontrol U4 sebesar 1 pada detik ke 30.

Pengujian *trajectory tracking* dengan *disturbance* pada lintasan lingkaran ditunjukkan pada Gambar 4.16 dan Gambar 4.17.



Gambar 4.16 Respon Simulasi *Quadcopter Trajectory tracking* pada Lintasan Lingkaran dengan *disturbance*

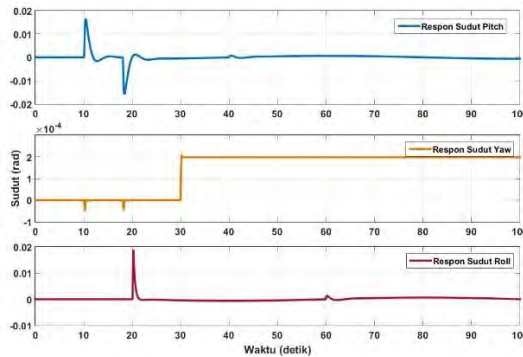


Gambar 4.17 Respon Posisi Sumbu X dan Y *Quadcopter* pada Lintasan Lingkaran dengan *disturbance*

Pada pengujian trajectory tracking quadcopter untuk lintasan lingkaran, didapatkan bahwa saat diberi gangguan, terdapat error yang cukup besar pada detik ke 40, error tersebut dikarenakan gangguan pada

sinyal kontrol U2 dan dapat membuat *quadcopter* keluar lintasan namun hanya sesaat. Pada gerak sumbu X memiliki RMSE sebesar 3,34% dan pada gerak sumbu Y memiliki RMSE sebesar 2,38%.

Dapat dilihat pada Gambar 4.18, gangguan pada sinyal kontrol mempengaruhi respon sudut *quadcopter*. Gangguan pada sinyal kontrol U2 mempengaruhi respon sudut *roll*, gangguan pada sinyal kontrol U3 mempengaruhi respon sudut *pitch* sedangkan gangguan pada sinyal kontrol U4 mempengaruhi sudut *yaw*.

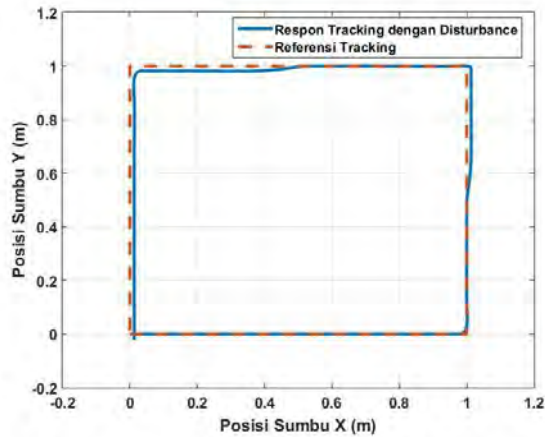


Gambar 4.18 Respon Sudut *Quadcopter* pada Lintasan Lingkaran dengan *disturbance*

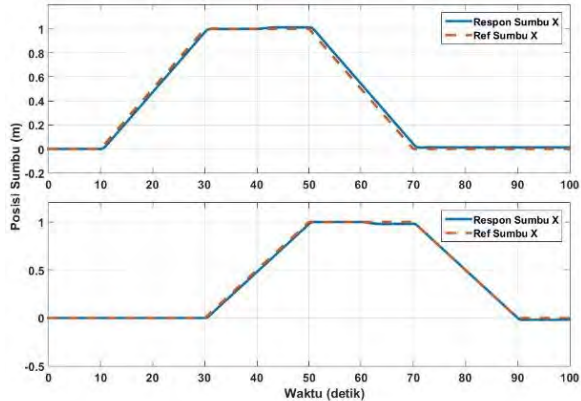
Pengujian kedua adalah dengan lintasan segiempat dengan *disturbance* yang sama dengan lintasan lingkaran, didapatkan bahwa saat diberi gangguan, terdapat error yang cukup besar pada detik ke 40, error tersebut dikarenakan gangguan pada sinyal kontrol U3 dan dapat membuat *quadcopter* keluar lintasan namun hanya sesaat. Pada gambar tersebut, sistem ketika dalam gangguan mengalami *error* yang cukup besar, namun masih dapat mengikuti referensi yang diberikan. Namun pada detik ke 60, gangguan yang disebabkan sinyal kontrol U2 juga terdapat error yang menggeser *quadcopter* dari jalur referensinya.

Pada tracking lintasan segiempat, gerak sumbu X *quadcopter* memiliki RMSE sebesar 2,73% dan pada gerak sumbu Y *quadcopter* memiliki RMSE sebesar 1,25%. Respon sumbu X dan Y pada lintasan segiempat terhadap gangguan dapat dilihat pada Gambar 4.19 dan respon sudut *quadcopter* untuk tracking segiempat dapat dilihat pada Gambar

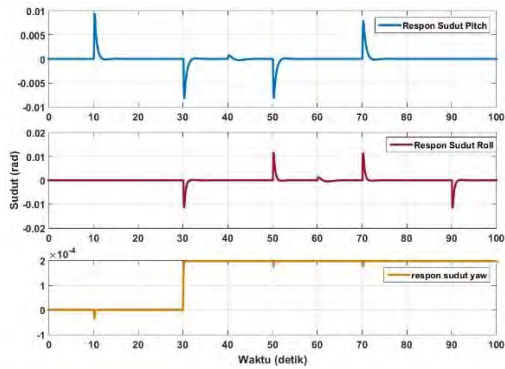
4.20. Respon sudut quadcopter untuk pengujian disturbance dengan lintasan segiempat dapat dilihat pada Gambar 4.21



Gambar 4.19 Respon Simulasi *Quadcopter Trajectory tracking* pada Lintasan Lingkaran dengan *disturbance*



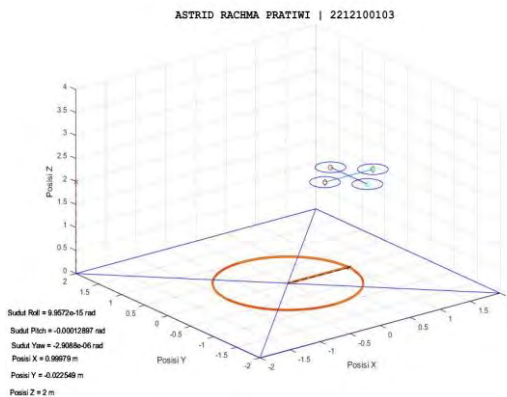
Gambar 4.20 Respon Posisi Sumbu X dan Y *Quadcopter* pada Lintasan Lingkaran dengan *disturbance*



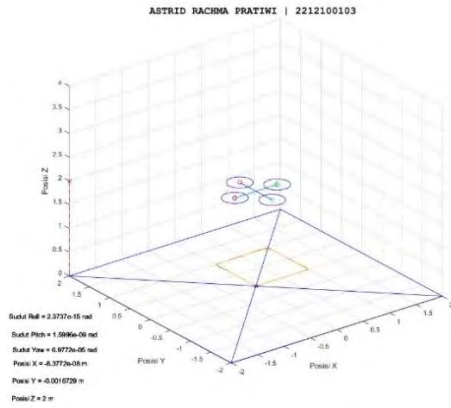
Gambar 4.21 Respon Sudut *Quadcopter* pada Lintasan Segiempat dengan *disturbance*

4.6 Simulasi 3D

Pada simulasi ini digunakan simulasi 3D untuk mengetahui pergerakan *quadcopter* yang sesungguhnya. Simulasi 3D ini dirancang menggunakan lintasan berbentuk lingkaran. Pada simulasi 3D dibatasi sumbu X dan Y bernilai 2 meter dan sumbu Z bernilai 4 meter untuk mempermudah dalam pembuatan simulasi 3D. simulasi 3D ditunjukkan pada Gambar 4.22 dan simulasi 3D dengan lintasan segiempat ditunjukkan pada Gambar 4.23.



Gambar 4.22 Simulasi 3D *Trajectory tracking* Lintasan Lingkaran pada *Quadcopter*



Gambar 4.23 Simulasi 3D *Trajectory tracking* Lintasan Segiempat pada *Quadcopter*

[Halaman ini sengaja dikosongkan]

LAMPIRAN A

A1. Data Pengukuran Kecepatan Motor

Pulsa	Motor 1	Motor 2	Motor 3	Motor 4
75	114.505	111.888	109.376	113.668
80	152.29	152.604	148.836	154.069
85	187.563	192.900	187.772	193.633
90	219.276	225.242	221.684	229.429
95	252.77	258.108	256.747	263.76
100	281.03	290.973	287.31	295.578
105	313.267	325.722	322.373	330.223
110	342.26	355.552	351.156	360.262
115	369.892	384.964	380.986	390.93
120	399.198	416.468	412.386	422.958
125	427.04	447.031	440.646	452.16
130	453.625	471.732	466.29	475.396
135	479.164	500.411	496.957	508.575
140	502.295	503.97	519.042	533.172
145	525.531	523.752	543.848	558.292
150	546.569	548.872	566.037	582.784
155	570.538	572.212	574.410	606.334
160	590.529	595.344	592.832	630.721
165	611.567	615.126	609.997	654.271
170	633.024	629.465	627.790	656.050
175	651.236	653.434	650.817	661.702
180	673.111	670.076	672.378	673.844

Pulsa	Motor 1	Motor 2	Motor 3	Motor 4
185	676.356	672.169	675.937	676.565
190	673.006	672.483	673.948	675.832
195	672.902	674.053	673.00	675.1
200	673.006	674.262	672.797	675.623

A2 Data Pengukuran Gaya Angkat Motor

Pulsa	Gaya Angkat 1 (kg)	Gaya Angkat 2 (kg)	Gaya Angkat 3 (kg)	Gaya Angkat 4 (kg)
75	0.02	0.011	0.017	0.014
80	0.036	0.031	0.033	0.039
85	0.058	0.055	0.055	0.061
90	0.078	0.08	0.077	0.084
95	0.104	0.107	0.102	0.115
100	0.131	0.138	0.134	0.145
105	0.165	0.177	0.17	0.184
110	0.198	0.207	0.209	0.221
115	0.227	0.252	0.243	0.264
120	0.27	0.297	0.285	0.306
125	0.31	0.34	0.328	0.357
130	0.352	0.39	0.374	0.402
135	0.396	0.432	0.426	0.452
140	0.438	0.446	0.478	0.498
145	0.488	0.475	0.522	0.553
150	0.533	0.54	0.578	0.611
155	0.582	0.605	0.613	0.664

Pulsa	Gaya Angkat 1 (kg)	Gaya Angkat 2 (kg)	Gaya Angkat 3 (kg)	Gaya Angkat 4 (kg)
160	0.63	0.626	0.619	0.718
165	0.672	0.654	0.646	0.771
170	0.723	0.715	0.704	0.783
175	0.772	0.784	0.762	0.791
180	0.834	0.832	0.826	0.825
185	0.842	0.846	0.84	0.847
190	0.833	0.833	0.836	0.841
195	0.832	0.834	0.834	0.845
200	0.834	0.836	0.837	0.845

A3. Pengukuran Kecepatan Motor

Pengukuran ini dilakukan dengan menggunakan tachometer laser dan menggunakan sinyal masukan berupa PWM dari Arduino. Hasil pengukuran kecepatan motor ditampilkan pada Lampiran A1. Dari hasil pengukuran diperoleh persamaan linear hubungan pulsa motor terhadap kecepatan (rad/s) pada masing-masing motor terdapat pada Persamaan (1).

$$y_1 = 44,851x - 1760,5$$

$$y_2 = 44,10x - 1603,7$$

$$y_3 = 44,8x - 1670,4$$

$$y_4 = 45,047x - 1618,7$$

A4. Pengukuran Gaya Angkat Motor

Langkah-langkah dalam pengukuran gaya angkat motor adalah dengan meletakkan motor dan propeller tepat diatas beban sehingga memiliki berat total 1,618 kg. Beban tersebut merupakan botol aqua 1,5 liter dengan diisi air, terdapat pada Gambar 3.4. Kemudian diletakkan diatas timbangan digital dan motor dijalankan dengan memberikan pulsa atau sinyal PWM dari arduino. Hasil pembacaan berat pada timbangan

dikurangi dengan beban 1,618 kg adalah gaya angkat pada masing-masing motor. Pada eksperimen ini dilakukan pengukuran gaya angkat pada masing-masing motor *propeller*. Dari pengukuran diperoleh persamaan linear hubungan pulsa motor terhadap gaya angkat kg pada masing-masing motor terdapat pada Persamaan berikut :

$$y_1 = 0,0076x - 0,6097$$

$$y_2 = 0,0076x - 0,5968$$

$$y_3 = 0,0076x - 0,5968$$

$$y_4 = 0,0078x - 0,6026$$

A4. Gaya thrust

Untuk mendapatkan konstanta *thrust*, *quadcopter* diterbangkan dalam posisi *hover* karena pada posisi tersebut, gaya yang dihasilkan oleh motor untuk mengangkat *quadcopter* sama dengan gaya yang mendorong *quadcopter* menuju *ground*. Dengan asumsi gaya gravitasi tetap, maka konstanta *thrust* dapat dihitung menggunakan Persamaan dibawah ini :

$$b = \frac{m \cdot g}{\sum_{i=1}^4 \Omega_i^2}$$

Konstanta *drag* dihitung dengan persamaan gerak lurus berubah beraturan. Pengukuran konstanta *drag* dilakukan dengan mengambil data penerbangan *quadcopter* pada saat *take-off*. Gaya yang terjadi saat *quadcopter* bergerak ke atas dapat diperoleh menggunakan Persamaan dibawah ini :

$$\sum F = Thrust - mg - Drag$$

$$ma = (\tau_1 + \tau_2 + \tau_3 + \tau_4) - mg - D$$

$$D = ma - ((\tau_1 + \tau_2 + \tau_3 + \tau_4) - mg)$$

$$a = \frac{s - v_0 t}{0,5 t^2}$$

$$CD = \frac{D}{\Omega^2}$$

Dimana:

CD = Konstanta *Drag*

v_0 = Kecepatan awal (m / s)

t = Waktu (s)

a = Percepatan (m / s^2)

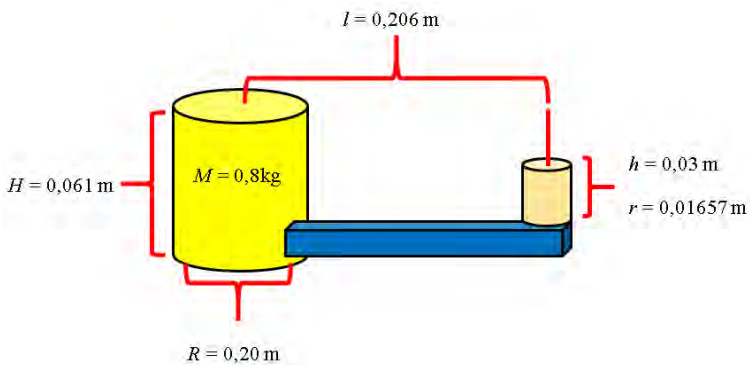
s = Jarak yang ditempuh (m)

τ_i = Gaya angkat, $i=1,2,3,4$

D = Gaya *drag*

Ω = Kecepatan motor

A5. Identifikasi Fisik *Quadcopter*



Identifikasi fisik konstanta

$$I_{z,frame1,4} = \frac{m_l}{12}(p^2 + l^2)$$

$$I_{z.frame2,3} = \frac{m_l}{12}(p^2 + t^2)$$

$$I_{z.m1,2,3,4} = \frac{m_m}{2} r^2 + (p_l)^2 \cdot M$$

$$I_{z.batt} = \frac{m_b}{12}(p^2 + l^2)$$

$$I_{z.1} = \frac{m_{mika}}{12}(p^2 + l^2)$$

$$I_{z.2} = \frac{m_{mika}}{12}(2 \cdot l^2)$$

$$I_{z.1,2,3,4} = \frac{m_p}{2} r^2 + (p_1)^2 \cdot M_p$$

$$I_{x.frame1,2,3} = \frac{m_l}{12}(l^2 + t^2)$$

$$I_{x.frame4,5,6} = \frac{m_l}{12}(p^2 + l^2)$$

$$I_{z.m2,4} = m_m \left(\frac{r^2}{4} + \frac{h}{12} \right) + [(0.5h)^2 + (p_1 - p_2)^2] m$$

$$I_{z.ml,3} = m_m \left(\frac{r^2}{4} + \frac{h}{12} \right) + (0.5h)^2 m$$

$$I_{x.batt} = \frac{m_b}{12}(l^2 + t^2) + (0.5t)^2$$

$$I_{y.batt} = \frac{m_b}{12}(p^2 + t^2) + (0.5t)^2$$

$$I_{x.mika1} = \frac{m_{mika}}{12}(p^2 + t^2) + (t^2) m_{mika}$$

$$I_{x.mika2,3} = \frac{m_{mika}}{12}(l^2 + t^2) + (t^2) m_{mika}$$

$$I_{y,mika1} = \frac{m_{mika}}{12}(l^2 + t^2) + (t^2) m_{mika}$$

$$I_{x,mika2,3} = \frac{m_{mika}}{12}(l^2 + t^2) + (t^2 + l^2) m_{mika}$$

$$I_{x.1,2} = m_p \left(\frac{p_2^2}{6} + \frac{t^2}{12} + p_1^2 + (0.5t^2 + h)^2 \right)$$

$$I_{x.3,4} = m_p \left(\frac{p_2^2}{6} + \frac{t^2}{12} \right)$$

Perhitungan I_{xx} , I_{yy} , I_{zz} dan J_{TP}

$$I_{xx} = \frac{mr^2}{4} + \frac{mh^2}{6} + 2mr^2 + \frac{MR^2}{4} + \frac{MH^2}{12}$$

$$I_{xx} = 1,68 \times 10^{-3}$$

$$I_{yy} = \frac{mr^2}{4} + \frac{mh^2}{6} + 2mr^2 + \frac{MR^2}{4} + \frac{MH^2}{12}$$

$$I_{yy} = 1,68 \times 10^{-3}$$

$$I_{zz} = \frac{MR^2}{2} + 4mr^2$$

$$I_{zz} = 1,25 \times 10^{-3}$$

$$J_{TP} = \frac{4 \times (mr^2)}{2}$$

$$J_{TP} = 0,21175 \times 10^{-4}$$

LAMPIRAN B

B1. Program Plotter *Quadcopter*

```
function [sys,x0,str,ts] =  
% PARAMETERS  
% s defines the plot size in meters  
% swi controls flyer attitude plot; 1 = on,  
otherwise off.  
% INPUTS  
% 1 Center X position  
% 2 Center Y position  
% 3 Center Z position  
% 4 Yaw angle in rad  
% 5 Pitch angle in rad  
% 6 Roll angle in rad  
% OUTPUTS  
% None  
ts = [-1 0];  
  
switch flag,  
case 0  
[sys,x0,str,ts] =  
mdlInitializeSizes(ts,plot,enable); %  
Initialization  
case 3  
sys = mdlOutputs(t,u,s,plot,enable); %  
Calculate outputs  
case {1,2, 4, 9} % Unused flags  
sys = [];  
otherwise  
error(['unhandled flag =  
' ,num2str(flag)]); % Error handling  
end  
  
% Initialize  
function [sys,x0,str,ts] =  
mdlInitializeSizes(ts,plot,enable)  
% Call simsizes for a sizes structure, fill  
it in, and convert it
```

```

% to a sizes array.
sizes = simsizes;
sizes.NumContStates = 0;
sizes.NumDiscStates = 0;
sizes.NumOutputs = 0;
sizes.NumInputs = 6;
sizes.DirFeedthrough = 1;
sizes.NumSampleTimes = 1;
sys = simsizes(sizes);
x0 = [];
str = []; % Set str to an empty
matrix.
ts = [0.5 0];
if enable == 1
    figure(plot);
    clf;
    %colordef(1,'none');
end
% End of mdlInitializeSizes.
function sys = mdlOutputs(t,u,s,plot,enable)
global als bls
name =
strcat('flyer_movie',num2str((t/0.125)*2+1),'
r.bmp'); %odds
    %name = strcat('flyer_movie',num2str(160-
(t/0.125)*2),'l.bmp'); %evens
if size(als) == [0 0];
    als = [0 0 0 0];
    bls = [0 0 0 0];
end
d = 0.40; %Jarak tiap pusat motor ke motor
lainnya
r = 0.206; %Jarak motor ke pusat quadcopter
N = 1;
S = 2;
E = 3;
W = 4;
D(:,N) = [d;0;0]; %displacements
D(:,S) = [-d;0;0];
D(:,E) = [0;d;0];

```



```

D(:,W) = [0;-d;0];
C(:,N) = [s(1)/4;0;0]; %Attitude center
displacements
C(:,S) = [-s(1)/4;0;0];
C(:,E) = [0;s(1)/4;0];
C(:,W) = [0;-s(1)/4;0];
if enable == 1
    %draw ground
    figure(plot);
    clf;
    if length(s) == 1
        axis([-s s -s s 0 s]);
    else
        axis([-s(1) s(1) -s(1) s(1) 0 s(2)])
        s = s(1);
    end
    hold on;
    plot3([-s -s],[s -s],[0 0],'-b')
    plot3([-s s],[s s],[0 0],'-b')
%garisbiruWEST
    plot3([s -s],[-s -s],[0 0],'-b')
    plot3([s s],[s -s],[0 0],'-
b')%garisbiruNORTH
    plot3([s -s],[-s s],[0 0],'-b')
%lintanglurus
    plot3([-s s],[-s s],[0 0],'-b')
%lintangsilang
    %READ STATE
    z = [u(1);u(2);-u(3)];
    n = [u(4);u(5);u(6)];
    %PREPROCESS ROTATION MATRIX
    phi = n(1); %Euler angles
    the = n(2);
    psi = n(3);

    R = [cos(the)*cos(phi)
sin(psi)*sin(the)*cos(phi)-cos(psi)*sin(phi)
cos(psi)*sin(the)*cos(phi)+sin(psi)*sin(phi);
%BBF > Inertial rotation matrix

```

```

        cos(the)*sin(phi)
sin(psi)*sin(the)*sin(phi)+cos(psi)*cos(phi)
cos(psi)*sin(the)*sin(phi)-sin(psi)*cos(phi);
        -sin(the)          sin(psi)*cos(the)
cos(psi)*cos(the)];
    %Manual Construction
    %Q3 = [cos(psi) -sin(psi) 0;sin(psi)
cos(psi) 0;0 0 1];    %Rotation mappings
    %Q2 = [cos(the) 0 sin(the);0 1 0;-
sin(the) 0 cos(the)];
    %Q1 = [1 0 0;0 cos(phi) -sin(phi);0
sin(phi) cos(phi)];
    %R = Q3*Q2*Q1;    %Rotation matrix

    %CALCULATE FLYER TIP POSITONS USING
COORDINATE FRAME ROTATION
    F = [1 0 0;0 -1 0;0 0 -1];
    %Draw flyer rotors
    t = [0:pi/8:2*pi];
for j = 1:length(t)
        circle(:,j) =
[r*sin(t(j));r*cos(t(j));0];
    end
    title('ASTRID RACHMA PRATIWI | 2212100103
','FontSize',15,'FontName','Courier
New','FontWeight','bold');
    for i = [N S E W]
        hub(:,i) = F*(z + R*D(:,i)); %points
in the inertial frame
        q = 1; %Flapping angle scaling for
output display - makes it easier to see what
flapping is occurring
        Rr = [cos(q*als(i))
sin(q*b1s(i))*sin(q*als(i))
cos(q*b1s(i))*sin(q*als(i));    %Rotor > Plot
frame
                0          cos(q*b1s(i))
-sin(q*b1s(i));

```

```

        -sin(q*a1s(i))
sin(q*b1s(i))*cos(q*a1s(i))
cos(q*b1s(i))*cos(q*a1s(i))];
    tippath(:, :, i) = F*R*Rr*circle;
plot3([hub(1,i)+tippath(1, :, i)], [hub(2,i)+tip
path(2, :, i)], [hub(3,i)+tippath(3, :, i)], 'b-')
    tinggi=u(3);
    roll_plot= u(6);
    pitch_plot= u(5);
    maju=u(1);
    minggir=u(2);
    yaw_plot=u(4);
    if tinggi<0.05
        tinggi=0;
    end
    if roll_plot<0.0001
        roll_plot= u(6);
    end
    if pitch_plot<0.0001
        pitch_plot= u(5);
    end
    textroll=text(-3.6,1.4,['Sudut Roll =
', num2str(roll_plot), ' rad']);
    textpitch=text(-3.975,0.85,['Sudut
Pitch = ', num2str(pitch_plot), ' rad']);
    textyaw=text(-4.3,0.4,['Sudut Yaw =
', num2str(yaw_plot), ' rad']);
    textmaju=text(-4.6,0,['Posisi X = ',
num2str(maju), ' m']);
    textminggir=text(-5,-0.5,['Posisi Y =
', num2str(-minggir), ' m']);
    textheight=text(-5.4,-1,['Posisi Z =
', num2str(tinggi), ' m']);

end
%Draw flyer
plot3([hub(1,N) hub(1,S)], [hub(2,N)
hub(2,S)], [hub(3,N) hub(3,S)], '-d')

```

```

        plot3([hub(1,E) hub(1,W)], [hub(2,E)
hub(2,W)], [hub(3,E) hub(3,W)], '-b')

plot3([hub(1,N)], [hub(2,N)], [hub(3,N)], 'og')

plot3([hub(1,S)], [hub(2,S)], [hub(3,S)], 'or')

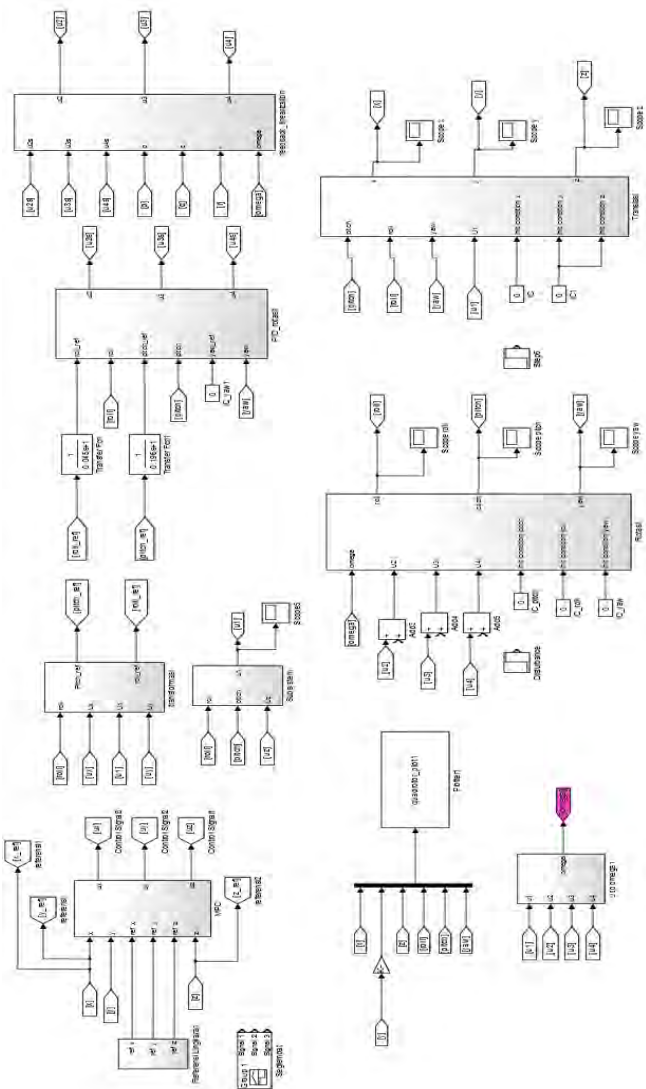
plot3([hub(1,E)], [hub(2,E)], [hub(3,E)], 'oc')
%isi lingkaran dalam

plot3([hub(1,W)], [hub(2,W)], [hub(3,W)], 'or')

    %Tracking lines
    plot3([z(1) 0], [-z(2) 0], [0 0], '--k')
%titik2trajektoriX
    plot3([z(1)], [-z(2)], [0], 'xk')
%titik2trajektoriY
    plot3([-s -s], [s s], [-z(3) 0], '--r')
%titik2trajektoriZ
    plot3([-s], [s], [-z(3)], 'xr')
    xlabel('Posisi X');
    ylabel('Posisi Y');
    zlabel('Posisi Z');
    grid on
%mov=avifile('quad.avi','Compression','None',
'Quality',100,'fps',10)
    %video=figure(plot);
end
%saveas(1,name);
sys = [];
% End of mdlOutputs.

```

B2. Diagram Simulink



BAB V

PENUTUP

Setelah rangkaian penentuan parameter dan perancangan yang telah dilakukan dianalisis maka akan dapat ditarik kesimpulan. Pembahasan dari bab-bab sebelumnya dan kendala-kendala yang terjadi selama pengerjaan tugas akhir ini akan menjadi bahan pertimbangan atau referensi dalam melakukan penelitian pengembangan dari tugas akhir ini.

5.1 Kesimpulan

Berdasarkan dari pengerjaan dan analisis data pada tugas akhir ini dapat diambil beberapa kesimpulan sebagai berikut :

- a. Kontroler MPC yang digunakan bergantung pada pemodelan dan linearisasi *Plant*.
- b. Pengendalian *quadcopter* membutuhkan respon rotasi yang lebih cepat dari pada respon translasi.
- c. Respon *Quadcopter* yang dikendalikan dengan kontroler MPC saat melakukan *trajectory tracking* khususnya gerakan *cruise* dapat mengikuti referensi tracking yang diberikan dengan parameter kontroler Np_x sebesar 20, Np_y sebesar 14 dan Np_z sebesar 10, walaupun masih terdapat lagging pada setiap sumbu.

5.2 Saran

Untuk membentuk suatu sistem monitoring yang lebih handal, efektif, dan efisien, maka sebaiknya perlu ada improvisasi dan pengembangan lebih dari tugas akhir ini. Maka dari itu berikut beberapa saran yang ditujukan untuk tugas akhir ini :

- a. Pemahaman teknis berupa hal-hal mekanik, elektrik dan ilmu pemrograman dalam implementasi quadrotor sangat dibutuhkan.
- b. Diperlukan peralatan atau prosedur untuk memvalidasi momen inersia dari quadrotor, karena hal tersebut akan sangat berpengaruh pada validasi model matematika.
- c. Kendala utama penggunaan kontroler PID pada *plant* kompleks adalah mencari metode *tunning* yang tepat, untuk itu diperlukan metode *tunning* yang lebih baik.

[Halaman ini sengaja dikosongkan]

DAFTAR PUSTAKA

- [1] H. Akhmad, P. U. Gilang, dan O. Hary, “Sistem Kontrol Altitude Pada UAV Model *Quadcopter* Dengan Metode PID”, The 14th Industrial Electronics Seminar, Electronic Engineering Polytechnic Institute of Surabaya (EEPIS), Indonesia, October, 2012
- [2] Chipofya. Mapopa, Jin Lee. Deok, dan Kil To Chong, “*Trajectory tracking and Stabilization of a Quadrotor Using Model Predictive Control of Laguerre Function*,” Research Article Republic of Korea. 2014.
- [3] J. M. Maciejowski, *Predictive Control with Constraints*, Prentice Hall, NewYork, NY,USA, 1st edition, 2002.
- [4] L. Wang, “Discrete time *Model Predictive Control* design using Laguerre functions,” in *Proceedings of the American Control Conference*, pp. 2430–2435, Arlington, Va, USA, June 2001.
- [5] Tommaso Bresciani, “Modelling, Identification and *Control* of a Quadrotor Helicopter”. Department of Automatic *Control* Lund University, October 2008.
- [6] Teppo Luukkonen, “Modelling and *control* of *Quadcopter*”. School of Science Aalto University, August 2011.
- [7] H.K. Khalil and JW Grizzle, “*Nonlinear systems*”, Prentice Hall, New Jersey, 2002
- [8] Syamsudduha Syahririni, “Analisis dan Simulasi PID Adaptif Optimal untuk Pengaturan Kecepatan dengan menggunakan Flexible Transmision”, Tesis, Institut Teknologi Sepuluh Nopember, Surabaya, 2008
- [9] Astrom, K., Hagglund, T. , “*PID Controllers: Theory, Design, and Tunning*”, Instrument Society of America, 1995.
- [10] Yuliansyah, Rendy., “*Desain dan Implementasi Kontroler PID untuk Glide-Scope Tracking pada Fixed-Wing UAV (Unmanned Aerial Vehicle)*”. Surabaya: Jurusan Teknik Elektro, Institut Teknologi Sepuluh Nopember, 2011.
- [11] Wang, L., “*Model Predictive Control System Design and Implementation Using MATLAB*”, Springer, London, 2009.
- [12] Akbar, Farid Choirul, “*Tuning Parameter Linier Quadratic Tracking Menggunakan Algoritma Genetika Untuk Pengendalian Gerak Lateral Quadcopter*”, Surabaya: Jurusan Teknik Elektro, Institut Teknologi Sepuluh Nopember.2016

[Halaman ini sengaja dikosongkan]

BIOGRAFI PENULIS



Astrid Rachma Pratiwi merupakan salah satu mahasiswa ITS yang mengambil jurusan teknik elektro. Fokus yang diambil dalam menjalani kuliah adalah Sistem Pengaturan. Ia yang berkelahiran di Surabaya, 14 April 1994 merupakan anak ke 3 dari 3 bersaudara dari pasangan Ketut Ponco Margono dan Dwi Astuti. Lulus dari SD Muhammdiyah 15 Surabaya pada tahun 2006, kemudian melanjutkan studi ke jenjang lebih lanjut di SMPN 16 Surabaya dan lulus pada tahun 2009. Kemudian melanjutkan ke SMAN 15 Surabaya dan lulus pada tahun 2012. Setelah menembuh studi pada tingkat SMA, penulis melanjutkan ketingkat lebih lanjut, yaitu di Institut Teknologi Sepuluh Nopember Surabaya jurusan Teknik Elektro pada tahun 2012. Pada bulan Juni 2016 penulis mengikuti seminar dan ujian Tugas Akhir sebagai salah satu syarat untuk memperoleh gelar Sarjana Teknik Elektro dari Institut Teknologi Sepuluh Nopember Surabaya.